



دانشکده مهندسی مکانیک

بررسی عددی میدان جریان و انتقال حرارت در یک حفره به

کمک تابع جریان – ورتیسیته

پروژه دوم درس دینامیک سیالات محاسباتی

گرایش تبدیل انرژی

علی باقری برمس

استاد مربوطه:

دکتر سید مصطفی حسینی پور

بهمن ۱۴۰۱

به نام خالق هستی

چکیده

با پیشرفت کامپیوتر و پیچیده‌تر شدن حل‌های تحلیلی، محققان به منظور تحلیل پدیده‌های حاکم بر طبیعت از روش‌های حل عددی استفاده کردند. پس از به کارگیری حل عددی در مسائل مکانیک سیالات، معادلات قابل توجهی به روش‌های متعدد حل شدند. یکی از این روش‌ها، استفاده از تابع جریان - ورتیسیته بود. در این پروژه، از این روش جهت بررسی نتایج حل عددی جریان و انتقال حرارت در یک حفره استفاده شده است. پس از بی‌بعد سازی معادلات ناویر-استوکس جریان دوبعدی و تراکم‌ناپذیر و اعمال شرط بوزینسک به منظور تراکم‌ناپذیر در نظر گرفتن سیال و حذف ترم فشار از معادلات، گسسته سازی صورت گرفته و با تشکیل دستگاه معادلات، میدان جریان و انتقال حرارت حل شده‌اند. پس از حل، بررسی‌های مربوط به استقلال حل عددی از شبکه و اعتبارسنجی حل نیز صورت گرفته‌اند.

واژه‌های کلیدی: تابع جریان-ورتیسیته؛ دینامیک سیالات محاسباتی؛ جریان حفره؛ تقریب بوزینسک.

فهرست مطالب

فصل اول: مقدمه ۱

۱-۱- تعریف مساله..... ۲

فصل دوم: معادلات حاکم و نحوه گسسته سازی آنها ۵

۱-۲- معادلات حاکم بر مساله..... ۶

۲-۲- شرایط مرزی..... ۷

فصل سوم: نتایج حل عددی ۱۲

۱-۳- مقدمه..... ۱۳

۲-۳- استقلال حل عددی از شبکه..... ۱۳

۳-۳- اعتبار سنجی نتایج..... ۱۴

۴-۳- کانتورها و نمودارهای جریان..... ۱۷

۱-۴-۳- ارائه نتایج برای عدد گراشف ۱۰۰۰..... ۱۷

۲-۴-۳- ارائه نتایج برای عدد گراشف ۱۰۰۰۰..... ۲۲

۳-۴-۳- ارائه نتایج برای عدد گراشف ۱۰۰۰۰۰..... ۲۷

۳-۵- پردازش داده..... ۳۲

فصل چهارم: نتایج و بحث ۳۴

۴-۱- نتیجه گیری ۳۵

۴-۱-۱- تابع جریان و ورتیسیته ۳۵

۴-۱-۲- کانتور مولفه افقی سرعت ۳۵

۴-۲- تاثیر عدد ریچاردسون ۳۵

پیوست ۳۶

مراجع ۵۴

فهرست شکل‌ها

- شکل ۱-۱: هندسه حفره و شرایط مرزی حاکم بر آن ۲
- شکل ۱-۳: نمودار مولفه عمودی سرعت در $Y = 0.5$ ۱۴
- شکل ۲-۳: نمودار مولفه افقی سرعت بر روی $X = 0.5$ ۱۵
- شکل ۳-۳: تابع جریان رسم شده برای حالت ایزوترمال در $Re=100$ ۱۶
- شکل ۴-۳: تابع جریان رسم شده برای حالت ایزوترمال در $Re=100$ ۱۶
- شکل ۵-۳: نمایش تابع جریان برای عدد گراشف ۱۰۰۰ ۱۷
- شکل ۶-۳: کانتور ورثیسیته برای عدد گراشف ۱۰۰۰ ۱۸
- شکل ۷-۳: کانتور مولفه افقی سرعت برای عدد گراشف ۱۰۰۰ ۱۸
- شکل ۸-۳: کانتور مولفه عمودی سرعت برای عدد گراشف ۱۰۰۰ ۱۹
- شکل ۹-۳: کانتور دمای بی‌بعد برای عدد گراشف ۱۰۰۰ ۱۹
- شکل ۱۰-۳: پروفیل مولفه افقی سرعت در $X=0.5$ و $Y=0.5$ در عدد گراشف ۱۰۰۰ ۲۰
- شکل ۱۱-۳: پروفیل مولفه عمودی سرعت در $X=0.5$ و $Y=0.5$ در عدد گراشف ۱۰۰۰ ۲۰
- شکل ۱۲-۳: پروفیل دمای بی‌بعد در $X=0.5$ و $Y=0.5$ در عدد گراشف ۱۰۰۰ ۲۱
- شکل ۱۳-۳: کانتور فشار برای عدد گراشف ۱۰۰۰ ۲۲
- شکل ۱۴-۳: نمایش تابع جریان برای عدد گراشف ۱۰۰۰۰ ۲۲
- شکل ۱۵-۳: کانتور ورثیسیته برای عدد گراشف ۱۰۰۰۰ ۲۳
- شکل ۱۶-۳: کانتور مولفه افقی سرعت برای عدد گراشف ۱۰۰۰۰ ۲۳
- شکل ۱۷-۳: کانتور مولفه عمودی سرعت برای عدد گراشف ۱۰۰۰۰ ۲۴
- شکل ۱۸-۳: کانتور دمای بی‌بعد برای عدد گراشف ۱۰۰۰۰ ۲۴
- شکل ۱۹-۳: پروفیل مولفه افقی سرعت در $X=0.5$ و $Y=0.5$ در عدد گراشف ۱۰۰۰۰ ۲۵

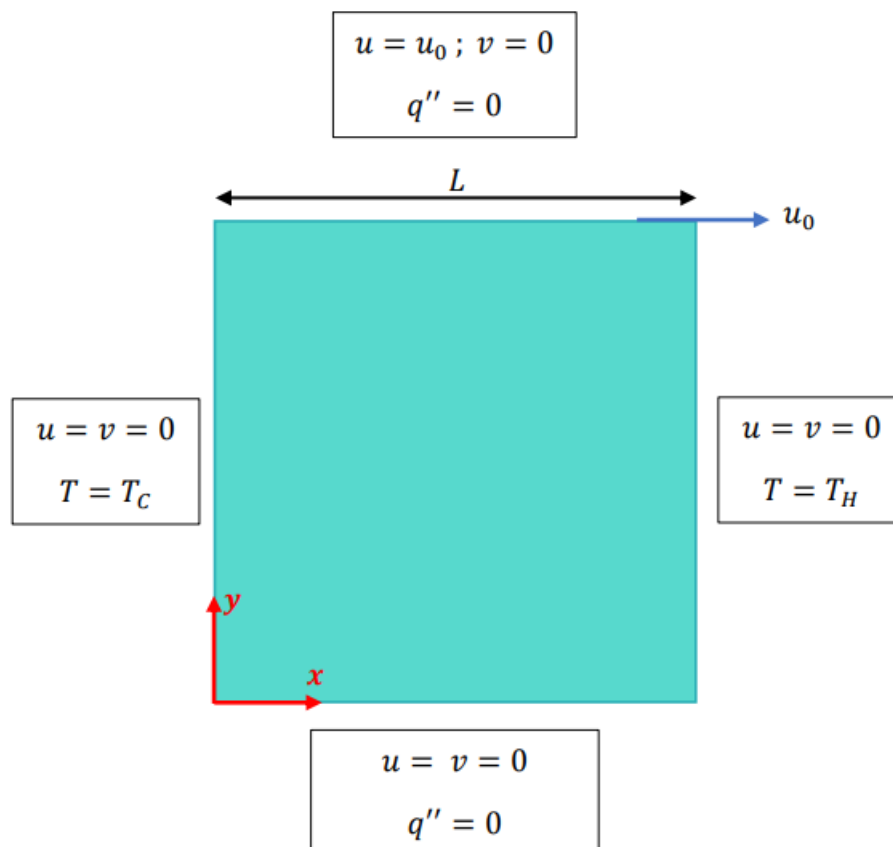
- شکل ۳-۲۰: پروفیل مولفه عمودی سرعت در $X=0.5$ و $Y=0.5$ در عدد گراشف ۱۰۰۰۰ ۲۵
- شکل ۳-۲۱: پروفیل دمای بی بعد در $X=0.5$ و $Y=0.5$ در عدد گراشف ۱۰۰۰۰ ۲۶
- شکل ۳-۲۲: کانتور فشار در عدد گراشف ۱۰۰۰۰ ۲۷
- شکل ۳-۲۳: نمایش تابع جریان برای عدد گراشف ۱۰۰۰۰۰ ۲۷
- شکل ۳-۲۴: کانتور مولفه افقی سرعت برای عدد گراشف ۱۰۰۰۰۰ ۲۸
- شکل ۳-۲۵: کانتور مولفه عمودی سرعت برای عدد گراشف ۱۰۰۰۰۰ ۲۸
- شکل ۳-۲۶: کانتور دمای بی بعد برای عدد گراشف ۱۰۰۰۰۰ ۲۹
- شکل ۳-۲۷: کانتور ورتیسیته برای عدد گراشف ۱۰۰۰۰۰ ۲۹
- شکل ۳-۲۸: پروفیل مولفه افقی سرعت در $X=0.5$ و $Y=0.5$ در عدد گراشف ۱۰۰۰۰۰ ۳۰
- شکل ۳-۲۹: پروفیل مولفه عمودی سرعت در $X=0.5$ و $Y=0.5$ در عدد گراشف ۱۰۰۰۰۰ ۳۰
- شکل ۳-۳۰: پروفیل دمای بی بعد در $X=0.5$ و $Y=0.5$ در عدد گراشف ۱۰۰۰۰۰ ۳۱
- شکل ۳-۳۱: کانتور فشار در عدد گراشف ۱۰۰۰۰ ۳۲
- شکل ۳-۳۲: پروفیل نیروی اصطکاک و نرخ بی بعد انتقال حرارت ۳۳

فصل ۱:

مقدمه

۱-۱- تعریف مساله

هدف از انجام این پروژه، شبیه سازی جریان و انتقال حرارت در یک حفره با استفاده از روش تابع جریان^۱ - ورتیسیته^۲ است. هندسه حفره^۳ در نشان داده شده است. دیواره بالایی با سرعت u_0 به سمت راست حرکت کرده و سایر دیواره ها ساکن هستند. دیواره بالایی و پایینی عایق بوده و دما در دیوارهای راست و چپ به ترتیب برابر T_C و T_H است.



شکل ۱-۱: هندسه حفره و شرایط مرزی حاکم بر آن.

با تغییر دما، چگالی جریان نیز دچار تغییر می شود؛ بنابراین جریان از لحاظ فیزیکی تراکم پذیر است. اما می توان با

¹ Stream Function

² Vorticity

³ Cavity

استفاده از تقریب بوزینسک^۱ می توان آن را به صورت تراکم ناپذیر مدل کرد. در چنین تقریبی، فرض می شود که خواص سیال ثابت بوده و تغییرات آن به صورت یک جمله چشمه $(g\beta(T - T_c))$ در معادله ممنتوم ظاهر می شود که به آن شتاب گرانشی می گویند. در این رابطه، g شتاب گرانش و β ضریب انبساط حرارتی است. پس از نوشتن معادلات پیوستگی، بقای ممنتوم و بقای انرژی با فرضیات ارائه شده، مراحل زیر به ترتیب در این پروژه طی شده اند؛

۱- فیزیک حاکم بر مساله در قالب معادلات بقا نوشته شده و پس از تعریف تابع جریان (ψ) و ورتیسیته (ω) و

قرار دادن آن ها در معادلات، معادلات و شرایط مرزی بر حسب این دو متغیر بازنویسی می شوند.

۲- معادلات حاصل از قسمت ۱ به کمک روش تفاضل محدود گسسته سازی می شود. جهت گسسته سازی

معادله حاکم بر تابع جریان از روش SOR و برای معادلات حاکم بر ورتیسیته و انرژی از روش صریح

FTCS استفاده می شود.

۳- معادلات گسسته سازی شده در نرم افزار متلب نوشته شده و پس از رسیدن به جواب پایا گزارش می شوند.

پس از حل این مساله و استخراج نتایج، به سوالات زیر پاسخ داده شده است؛

الف) در حالت ایزوترمال و به ازای $Re = 100$ ، مولفه عمودی سرعت در $Y = 0.5$ ، شبکه ای که به ازای آن حل

عددی مستقل از تعداد شبکه می شود، چه نوع شبکه ای است؟

ب) در حالت ایزوترمال و به ازای $Re = 100$ ، نتایج حاصل برای U در $Y = 0.5$ ، چه مقدار با نتایج حاصل قیا و

همکاران [1] مطابقت دارد؟

ج) تاثیر عدد ریچاردسون بر روی نتایج حاصل چیست؟

د) پس از محاسبه نیروی اصطکاک و نرخ انتقال حرارت بی بعد روی دیواره سمت چپ، درباره تاثیر عدد

ریچاردسون بر آن ها بحث کنید.

¹ Boussinesq Approximation

ه) معادله حاکم بر فشار را استخراج کنید.

باید در نظر گرفته شود که در بررسی این پروژه، معیار همگرایی جواب در روش‌های تکراری 10^{-5} در نظر گرفته شده است.

فصل ۲:

معادلات حاکم و نحوه گسسته سازی آنها

۱-۲- معادلات حاکم بر مساله

باتوجه به تمام فرضیات گفته شده در فصل قبل، معادلات بقا به شکل زیر نوشته می شوند؛

$$\frac{\partial u}{\partial x} + \frac{\partial v}{\partial y} = 0 \quad (۱-۲)$$

$$\frac{\partial u}{\partial t} + u \frac{\partial u}{\partial x} + v \frac{\partial u}{\partial y} = -\frac{1}{\rho} \frac{\partial p}{\partial x} + \nu \left(\frac{\partial^2 u}{\partial x^2} + \frac{\partial^2 u}{\partial y^2} \right) \quad (۲-۲)$$

$$\frac{\partial v}{\partial t} + u \frac{\partial v}{\partial x} + v \frac{\partial v}{\partial y} = -\frac{1}{\rho} \frac{\partial p}{\partial y} + \nu \left(\frac{\partial^2 v}{\partial x^2} + \frac{\partial^2 v}{\partial y^2} \right) + g\beta(T - T_c) \quad (۳-۲)$$

$$\frac{\partial T}{\partial t} + u \frac{\partial T}{\partial x} + v \frac{\partial T}{\partial y} = \alpha \left(\frac{\partial^2 T}{\partial x^2} + \frac{\partial^2 T}{\partial y^2} \right) \quad (۴-۲)$$

که در معادلات بالا، ν لزجت سینماتیکی، ρ چگالی سیال و α ضریب پخش حرارت است. به منظور ساده سازی

روند حل بهتر است به کمک پارامترهای بی بعد ساز زیر معادلات حاکم را بازنویسی کنیم؛

$$X = \frac{x}{L}, \quad Y = \frac{y}{L}, \quad \tau = \frac{t \times u_0}{L}, \quad U = \frac{u}{u_0}, \quad V = \frac{v}{v_0}, \quad P = \frac{p}{\rho u_0^2}, \quad \theta = \frac{T - T_c}{T_H - T_c}$$

فرم بی بعد معادلات به شکل زیر خواهند بود؛

$$\frac{\partial U}{\partial X} + \frac{\partial V}{\partial Y} = 0 \quad (۵-۲)$$

$$\frac{\partial U}{\partial \tau} + U \frac{\partial U}{\partial X} + V \frac{\partial U}{\partial Y} = -\frac{\partial P}{\partial X} + \frac{1}{Re} \left(\frac{\partial^2 U}{\partial X^2} + \frac{\partial^2 U}{\partial Y^2} \right) \quad (۶-۲)$$

$$\frac{\partial V}{\partial \tau} + U \frac{\partial V}{\partial X} + V \frac{\partial V}{\partial Y} = -\frac{\partial P}{\partial Y} + \frac{1}{Re} \left(\frac{\partial^2 V}{\partial X^2} + \frac{\partial^2 V}{\partial Y^2} \right) + Ri\theta \quad (۷-۲)$$

$$\frac{\partial \theta}{\partial \tau} + U \frac{\partial \theta}{\partial X} + V \frac{\partial \theta}{\partial Y} = \frac{1}{Pe} \left(\frac{\partial^2 \theta}{\partial X^2} + \frac{\partial^2 \theta}{\partial Y^2} \right) \quad (۸-۲)$$

که در آن، Re عدد رینولدز، Ri عدد ریچاردسون و Pe عدد پکلت هستند که هر یک به صورت زیر تعریف می شوند؛

$$Re = \frac{u_0 \times L}{\nu} \quad (9-2)$$

$$Pe = Re \times Pr \quad (10-2)$$

$$Ri = \frac{Gr}{Re^2} \text{ where } Gr = \frac{g\beta L^3(T_H - T_C)}{\nu^2} \quad (11-2)$$

۲-۲- شرایط مرزی

با توجه به اینکه در حل عددی با دو معادله دیفرانسیل مرتبه دو مواجه هستیم، به چهار شرط مرزی برای حل هر کدام از توابع جریان و ورتیسیتی نیازمندیم، این چهار شرط برای تابع جریان عبارتند از؛

$$u(0, y) = \frac{\partial \psi}{\partial y}(x = 0) = 0 \rightarrow \psi(0, y) = 0 \quad (12-2)$$

$$u(L, y) = \frac{\partial \psi}{\partial y}(x = L) = 0 \rightarrow \psi(L, y) = 0 \quad (13-2)$$

$$v(x, 0) = -\frac{\partial \psi}{\partial x}(y = 0) = 0 \rightarrow \psi(x, 0) = 0 \quad (14-2)$$

$$v(x, H) = -\frac{\partial \psi}{\partial x}(y = H) = 0 \rightarrow \psi(x, H) = 0 \quad (15-2)$$

شرایط مرزی ورتیسیتی نیز عبارتند از؛

$$\omega_{\backslash, j} = -\frac{\psi_{\backslash, j}}{\Delta X^2} (j = 2:jmax - 1) \quad (16-2)$$

$$\omega_{imax, j} = \omega_{\backslash, j} - \frac{\psi_{imax-\backslash, j}}{\Delta X^2} (j = 2:jmax - 1) \quad (17-2)$$

$$\omega_{i,1} = -\frac{\psi_{i,2}}{\Delta Y^2} (i = 2:imax - 1) \quad (18-2)$$

$$\omega_{i,jmax} = -\frac{\psi_{i,jmax-1} + U\Delta Y}{\Delta Y^2} (i = 2:imax - 1) \quad (19-2)$$

شرایط مرزی دمایی و سرعت ها نیز عبارتند از؛

$$\theta_{i,2} = \theta_{i,1} \quad (20-2)$$

$$\theta_{i,jmax} = \theta_{i,jmax-1} \quad (21-2)$$

$$X = 1 \rightarrow \theta = 1 \quad (22-2)$$

$$X = 0 \rightarrow \theta = 0 \quad (23-2)$$

$$V(0, Y) = V(1, Y) = V(X, 0) = V(1, 0) = 0 \quad (24-2)$$

$$U(0, Y) = U(1, Y) = U(X, 0) = 0 \quad (25-2)$$

$$U(1, 0) = u_0 \quad (26-2)$$

به کمک تعریف تابع جریان و ورتیسیتهی و جایگذاری آنها در معادلات (2-5) تا (2-8) خواهیم داشت؛

$$u = \frac{\partial \psi}{\partial y} = \frac{1}{L} \frac{\partial \psi}{\partial Y} \quad (27-2)$$

$$v = -\frac{\partial \psi}{\partial x} = -\frac{1}{L} \frac{\partial \psi}{\partial X} \quad (28-2)$$

$$\omega = -\left(\frac{\partial^2 \psi}{\partial x^2} + \frac{\partial^2 \psi}{\partial y^2}\right) \quad (29-2)$$

$$U \frac{\partial \omega}{\partial X} + V \frac{\partial \omega}{\partial Y} = \frac{1}{Re} \left(\frac{\partial^2 \omega}{\partial X^2} + \frac{\partial^2 \omega}{\partial Y^2}\right) + Ri \frac{\partial \theta}{\partial X} \quad (30-2)$$

$$\frac{\partial \theta}{\partial \tau} + U \frac{\partial \theta}{\partial X} + V \frac{\partial \theta}{\partial Y} = \frac{1}{Pe} \left(\frac{\partial^2 \theta}{\partial X^2} + \frac{\partial^2 \theta}{\partial Y^2} \right) \quad (31-2)$$

حال به ترتیب شروع به گسسته سازی معادلات (27-2) تا (31-2) به روش FTCS می کنیم، برای معادله (27-2) و (28-2) به طور مشابه می توان نوشت؛

$$uU = \frac{1}{L} \frac{\partial \psi}{\partial Y} \rightarrow U_{i,j} = \frac{1}{uL} \frac{\partial \psi}{\partial Y} = \frac{\psi_{i,j+1} - \psi_{i,j-1}}{2\Delta Y} \quad (32-2)$$

$$vV = -\frac{1}{L} \frac{\partial \psi}{\partial X} \rightarrow V_{i,j} = \frac{1}{vL} \frac{\partial \psi}{\partial X} = \frac{\psi_{i+1,j} - \psi_{i-1,j}}{2\Delta X} \quad (33-2)$$

برای معادله (29-2) نیز داریم؛

$$\omega_{i,j} = - \left(\frac{\psi_{i+1,j} - 2\psi_{i,j} + \psi_{i-1,j}}{\Delta X^2} + \frac{\psi_{i,j+1} - 2\psi_{i,j} + \psi_{i,j-1}}{\Delta Y^2} \right) \quad (34-2)$$

برای معادله (30-2) و (31-2) نیز به طور مشابه خواهیم داشت؛

$$\begin{aligned} \frac{\omega_{i,j}^{n+1} - \omega_{i,j}^n}{\Delta \tau} + U_{i,j} \frac{\omega_{i+1,j} - \omega_{i-1,j}}{2\Delta X} + V_{i,j} \frac{\omega_{i,j+1} - \omega_{i,j-1}}{2\Delta Y} \\ = \frac{1}{Re} \left(\frac{\omega_{i+1,j} - 2\omega_{i,j} + \omega_{i-1,j}}{\Delta X^2} + \frac{\omega_{i,j+1} - 2\omega_{i,j} + \omega_{i,j-1}}{\Delta Y^2} \right) + Ri \frac{\theta_{i+1,j} - \theta_{i-1,j}}{2\Delta X} \end{aligned} \quad (35-2)$$

$$\begin{aligned} \frac{\theta_{i,j}^{n+1} - \theta_{i,j}^n}{\Delta \tau} + U_{i,j} \frac{\theta_{i+1,j} - \theta_{i-1,j}}{2\Delta X} + V_{i,j} \frac{\theta_{i,j+1} - \theta_{i,j-1}}{2\Delta Y} \\ = \frac{1}{Pe} \left(\frac{\theta_{i+1,j} - 2\theta_{i,j} + \theta_{i-1,j}}{\Delta X^2} + \frac{\theta_{i,j+1} - 2\theta_{i,j} + \theta_{i,j-1}}{\Delta Y^2} \right) \end{aligned} \quad (36-2)$$

حال معادلات گسسته شده را به صورت قابل استفاده در متلب به صورت زیر می نویسیم، تا بتوانیم مساله را حل عددی بکنیم؛

$$U_{i,j}^n = \frac{\psi_{i,j+1}^n - \psi_{i,j-1}^n}{2\Delta Y} \quad (37-2)$$

$$V_{i,j}^n = \frac{\psi_{i+1,j}^n - \psi_{i-1,j}^n}{2\Delta X} \quad (38-2)$$

$$U_{i,j}^n = \frac{\psi_{i,j+1}^n - \psi_{i,j-1}^n}{2\Delta Y} \quad (39-2)$$

$$\begin{aligned} \omega_{i,j}^{n+1} = \omega_{i,j}^n + \Delta\tau \left[-U_{i,j} \frac{\omega_{i+1,j} - \omega_{i-1,j}}{2\Delta X} - V_{i,j} \frac{\omega_{i,j+1} - \omega_{i,j-1}}{2\Delta Y} \right. \\ \left. + \frac{1}{Re} \left(\frac{\omega_{i+1,j} - 2\omega_{i,j} + \omega_{i-1,j}}{\Delta X^2} \right. \right. \\ \left. \left. + \frac{\omega_{i,j+1} - 2\omega_{i,j} + \omega_{i,j-1}}{\Delta Y^2} \right) + Ri \frac{\theta_{i+1,j} - \theta_{i-1,j}}{2\Delta X} \right] \end{aligned} \quad (40-2)$$

$$\begin{aligned} \theta_{i,j}^{n+1} = \theta_{i,j}^n + \Delta\tau \left[-U_{i,j} \frac{\theta_{i+1,j} - \theta_{i-1,j}}{2\Delta X} - V_{i,j} \frac{\theta_{i,j+1} - \theta_{i,j-1}}{2\Delta Y} \right. \\ \left. + \frac{1}{Pe} \left(\frac{\theta_{i+1,j} - 2\theta_{i,j} + \theta_{i-1,j}}{\Delta X^2} \right. \right. \\ \left. \left. + \frac{\theta_{i,j+1} - 2\theta_{i,j} + \theta_{i,j-1}}{\Delta Y^2} \right) \right] \end{aligned} \quad (41-2)$$

$$\psi_{i,j}^{k+1} = \frac{\psi_{i+1,j}^k + \psi_{i-1,j}^{k+1} + \psi_{i,j+1}^k + \psi_{i,j-1}^{k+1} + (\omega_{i,j}^{k+1})(\Delta X)^2}{4} \quad (42-2)$$

به منظور به دست آوردن توزیع فشار نیز کافی است، از معادلهٔ ممتوم در راستاهای مختلف نسبت به راستاهای

مربوطه مشتق گرفته و دو معادلهٔ حاصل را با یکدیگر جمع کنیم. نتیجهٔ نهایی به صورت زیر خواهد بود:

$$\nabla^2 p = 2\rho \left[\frac{\partial^2 \psi}{\partial x^2} \frac{\partial^2 \psi}{\partial y^2} - \left(\frac{\partial^2 \psi}{\partial x \partial y} \right)^2 \right] \quad (43-2)$$

که فرم گسسته شدهٔ آن به صورت زیر خواهد بود:

$$\begin{aligned}
P_{i,j} = \frac{\rho}{\Delta X^2} & [(\psi_{i+1,j} - 2\psi_{i,j} + \psi_{i-1,j})(\psi_{i,j+1} - 2\psi_{i,j} + \psi_{i,j-1}) \\
& - \frac{1}{4}[(\psi_{i+1,j+1} - \psi_{i-1,j+1} - \psi_{i+1,j-1} + \psi_{i-1,j-1})^2] \\
& - \frac{Ri\Delta X\rho}{\Delta}(\theta_{i,j+1} - \theta_{i,j-1}) + \frac{1}{4}(P_{i+1,j} + P_{i-1,j} \\
& + P_{i,j+1} + P_{i,j-1})
\end{aligned} \tag{۴۴-۲}$$

فصل ۳:

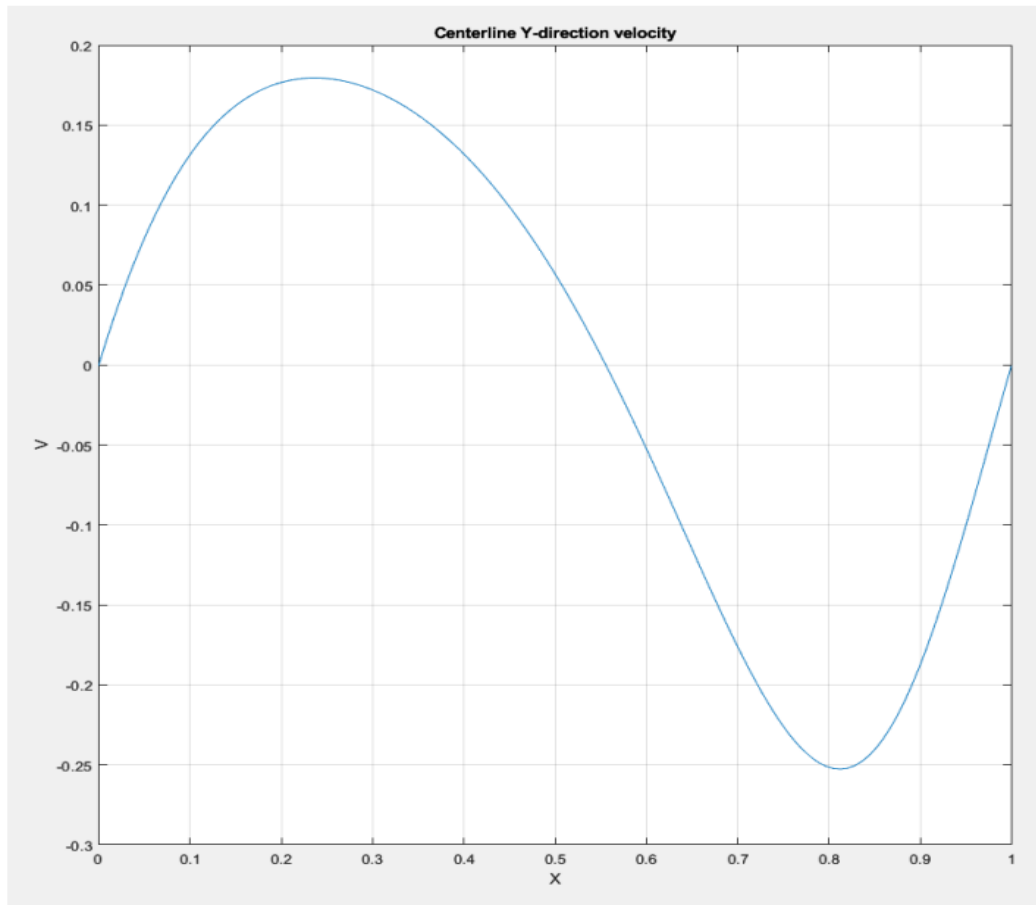
نتایج حل عددی

۳-۱- مقدمه

باتوجه به خواسته پروژه، مساله برای دو حالت ایزوترمال و حالت گرادیان دما در نرم افزار متلب شبیه سازی شده است، معادلات و روند حل هر دو مساله به یک شکل هستند با این تفاوت که در حالت ایزوترمال، به دلیل نبود گرادیان دما معادله انرژی حل نمی شود. کدهای متلب مربوط به مساله برای عدد گراشف 10^3 در قسمت پیوست آورده شده است.

۳-۲- استقلال حل عددی از شبکه

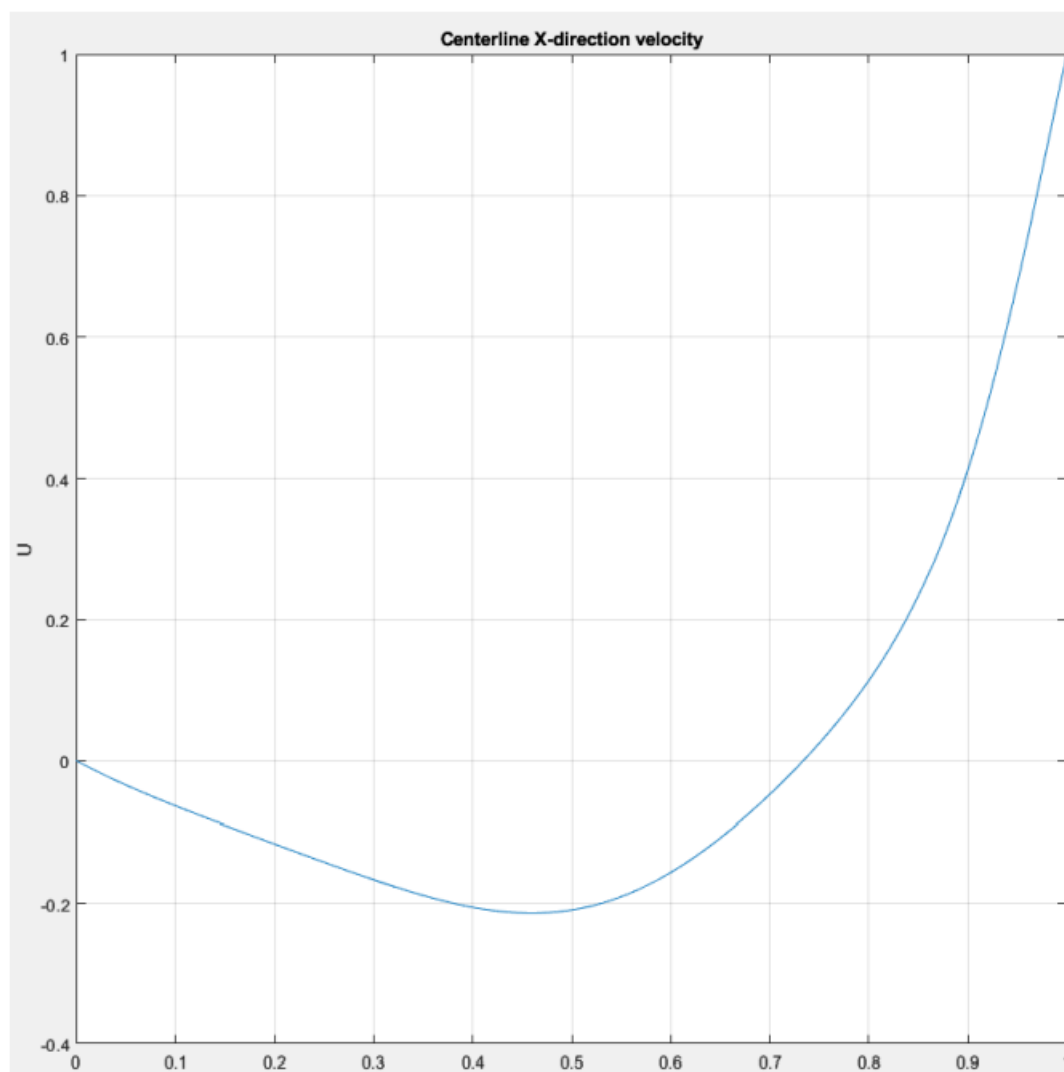
در صورتی که تعداد شبکه ها از حدی پایین تر باشد، دقت نتایج کاهش پیدا می کند. از طرف دیگر، شبیه سازی ساختارهایی با تعداد شبکه بالا به سیستم پردازش قوی تر و رم های با ظرفیت بالاتر نیاز دارد. به همین دلیل مطالعه استقلال حل عددی از تعداد شبکه انجام شده است. بدین منظور در $Re = 100$ ، نمودار مولفه عمودی سرعت در $Y = 0.5$ در شکل ۳-۱ رسم شده است. پس از آن به منظور استقلال حل عددی از شبکه، شبکه ریزتر شده و با معیار قرار دادن اندازه سرعت در دیواره این نکته بررسی شده است. نتایج حاصل نشان داده است در اندازه شبکه با تعداد گره ۱۳۰ در دو راستا حل عددی مستقل از تعداد شبکه می شود.



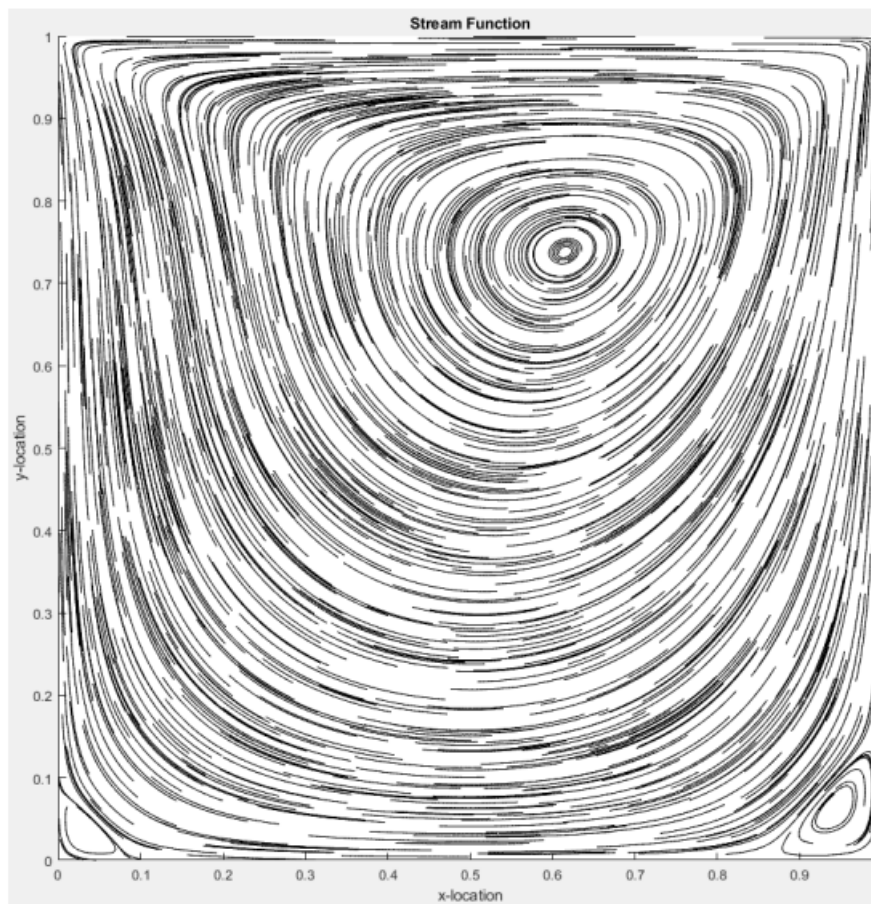
شکل ۳-۱: نمودار مولفه عمودی سرعت در $Y = 0.5$.

۳-۳- اعتبار سنجی نتایج

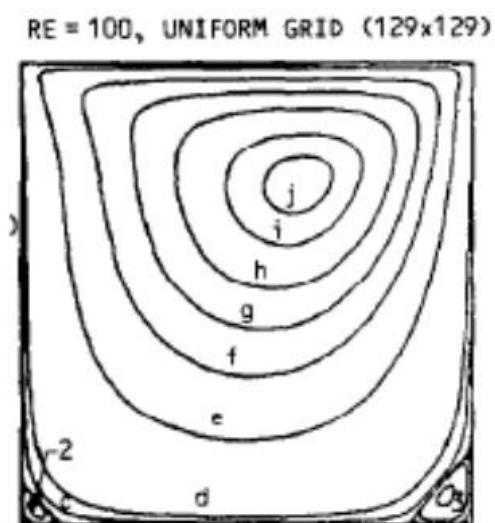
به منظور اعتبارسنجی حل عددی، مولفه افقی سرعت بر روی $X = 0.5$ در شکل ۳-۲ رسم شده و نتیجه حاصل همراه با تابع جریان () با نتایج قیا و همکاران [1] مقایسه گردیده است. مشاهده است که نتیجه حاصل از دقت مناسب برخوردار است.



شکل ۳-۲: نمودار مولفه افقی سرعت بر روی $X = 0.5$



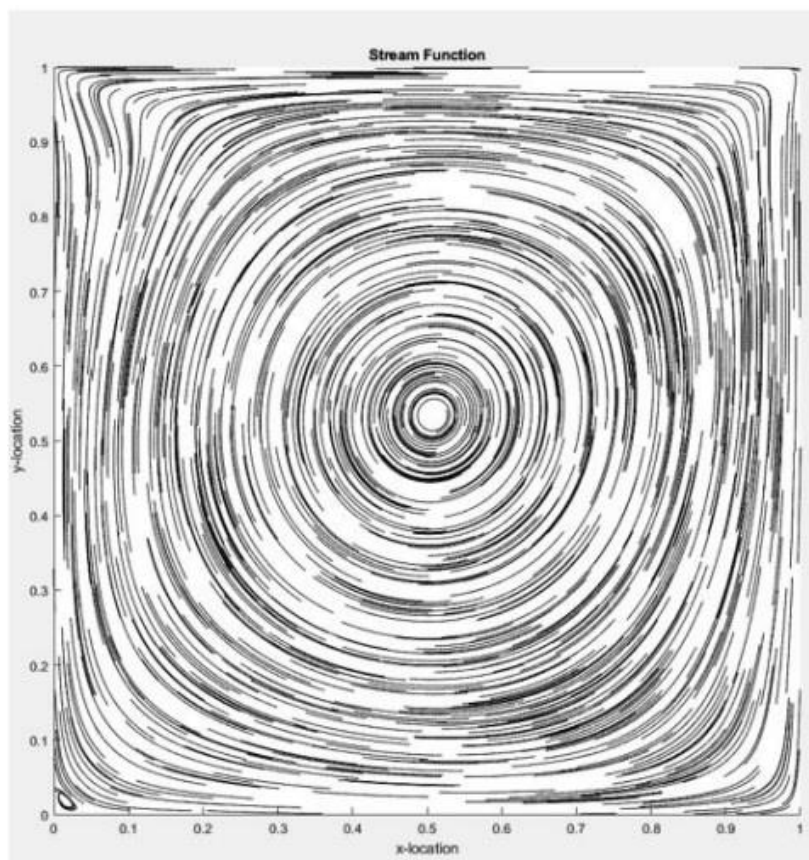
شکل ۳-۳: تابع جریان رسم شده برای حالت ایزوترمال در $Re=100$.



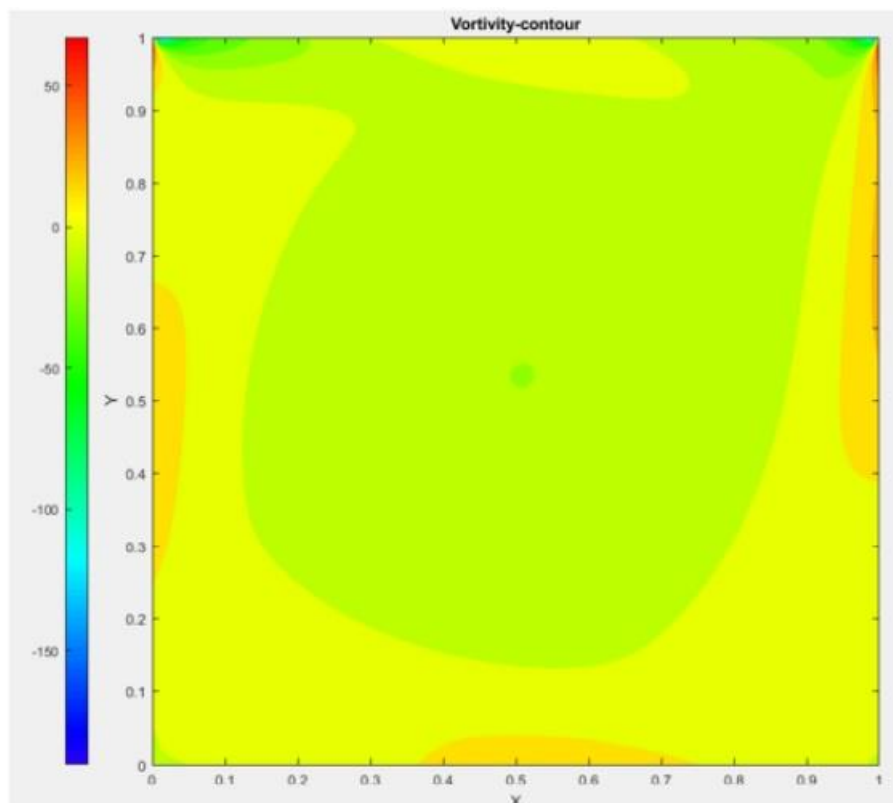
شکل ۳-۴: تابع جریان رسم شده برای حالت ایزوترمال در $Re=100$ {۱}.

۴-۳- کانتورها و نمودارهای جریان

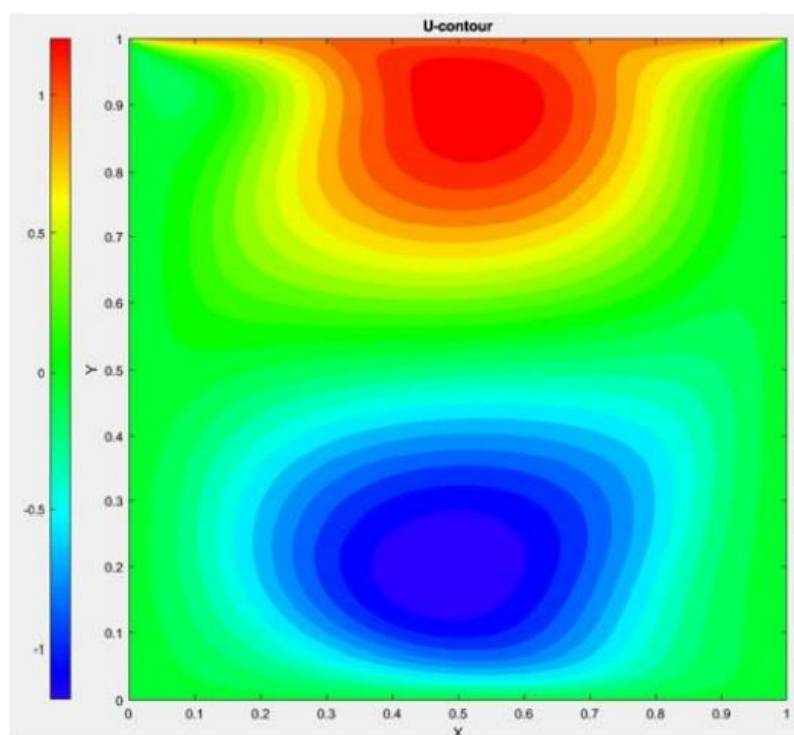
۳-۴-۱- ارائه نتایج برای عدد گراشف ۱۰۰۰



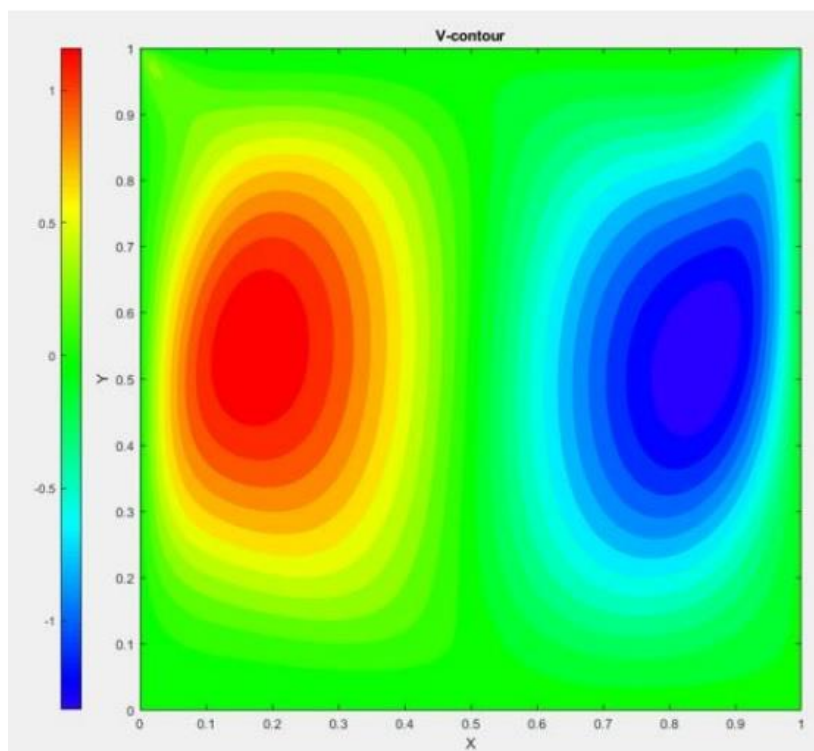
شکل ۳-۵: نمایش تابع جریان برای عدد گراشف ۱۰۰۰.



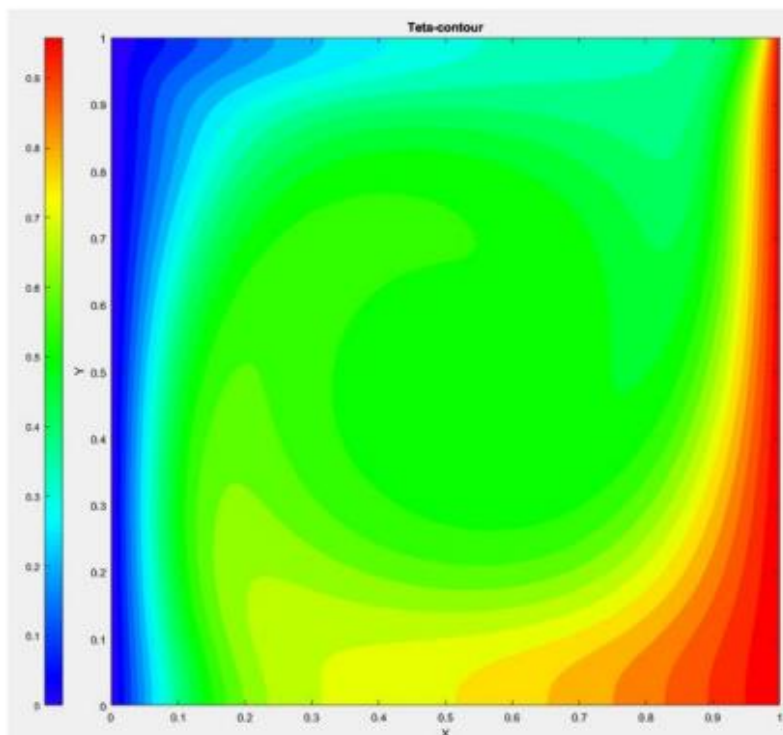
شکل ۳-۶: کانتور وریسیتی برای عدد گراشف ۱۰۰۰.



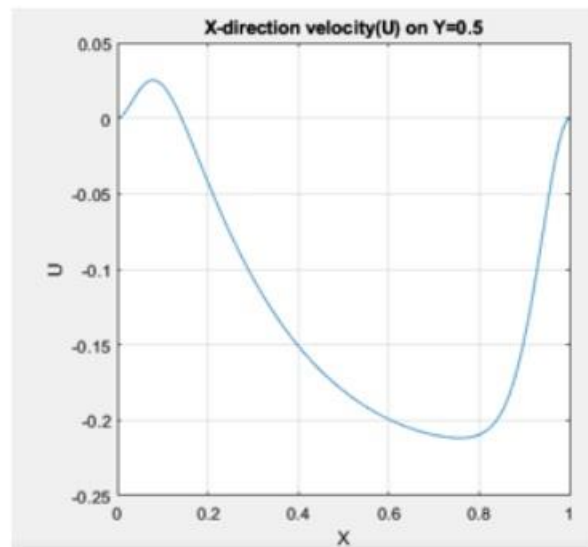
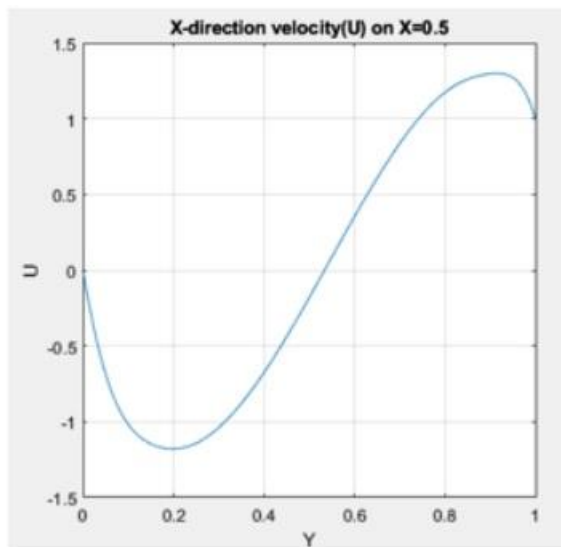
شکل ۳-۷: کانتور مولفه افقی سرعت برای عدد گراشف ۱۰۰۰.



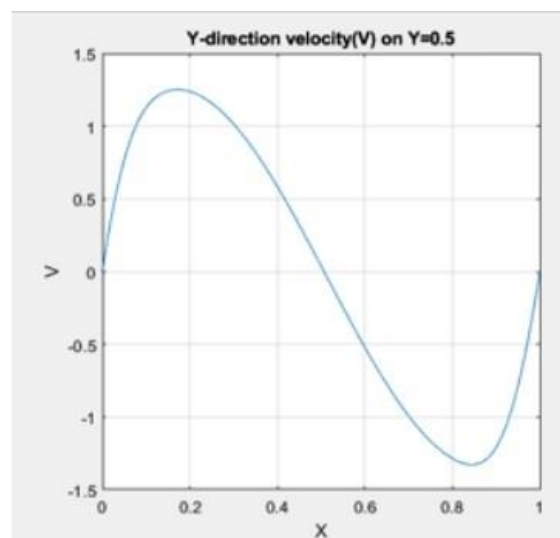
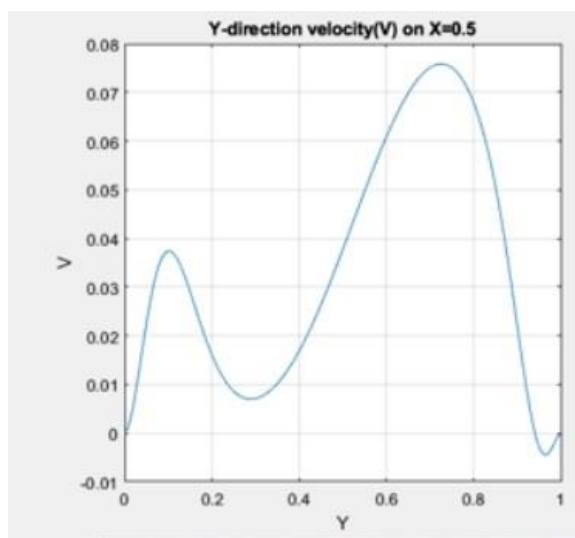
شکل ۳-۸: کانتور مولفه عمودی سرعت برای عدد گراشف ۱۰۰۰.



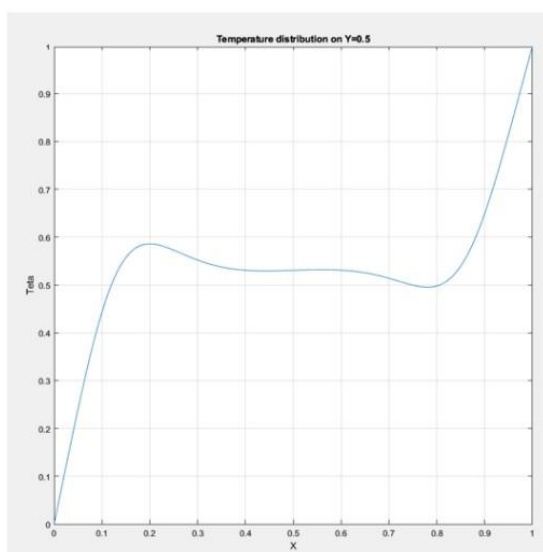
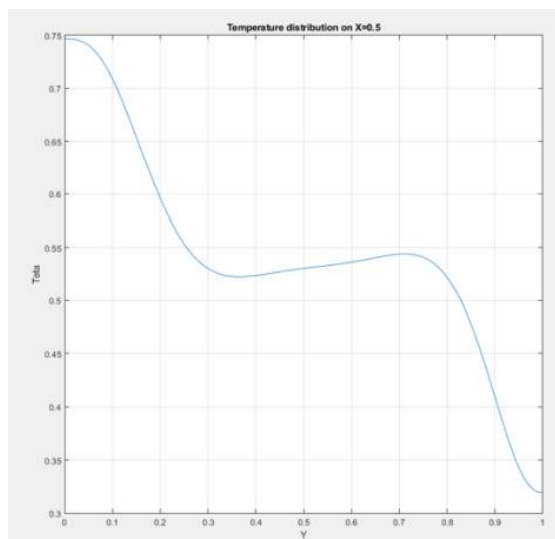
شکل ۳-۹: کانتور دمای بی بعد برای عدد گراشف ۱۰۰۰.



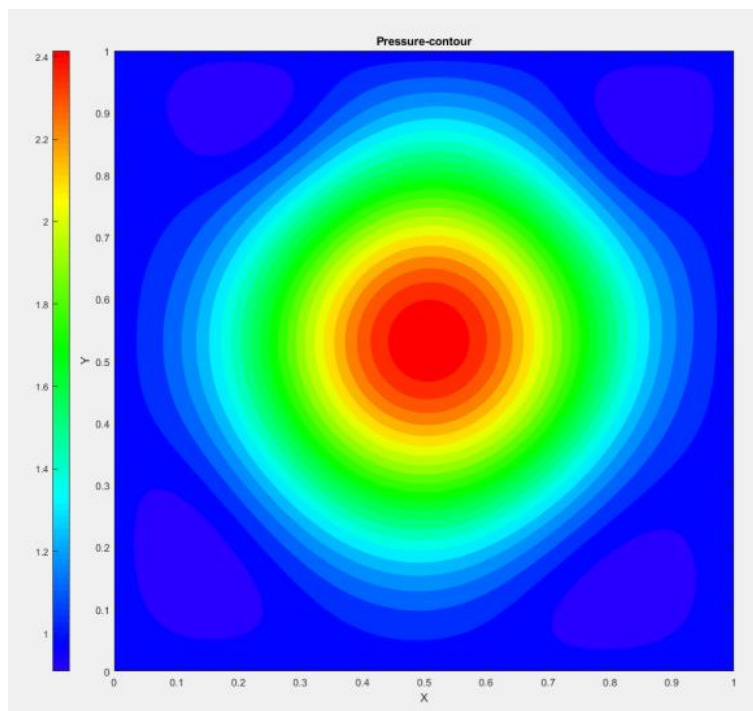
شکل ۳-۱۰: پروفیل مولفه افقی سرعت در $X=0.5$ و $Y=0.5$ در عدد گراشف ۱۰۰۰.



شکل ۳-۱۱: پروفیل مولفه عمودی سرعت در $X=0.5$ و $Y=0.5$ در عدد گراشف ۱۰۰۰.

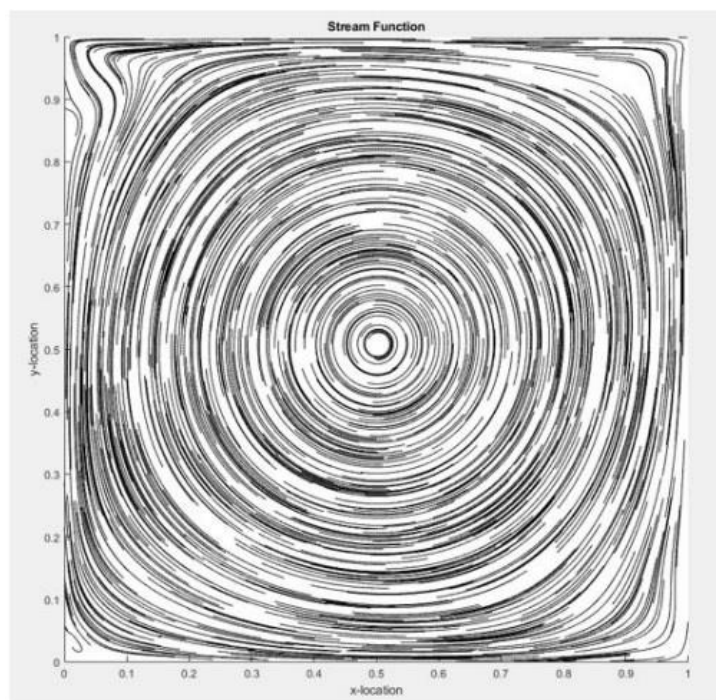


شکل ۳-۱۲: پروفیل دمای بی بعد در $x=0.5$ و $y=0.5$ در عدد گراشف ۱۰۰۰.

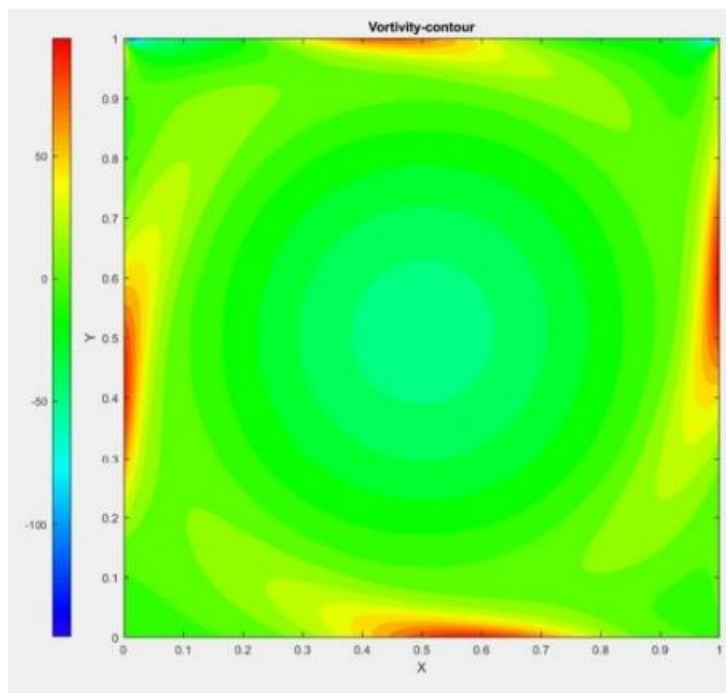


شکل ۳-۱۳: کانتور فشار برای عدد گراشف ۱۰۰۰.

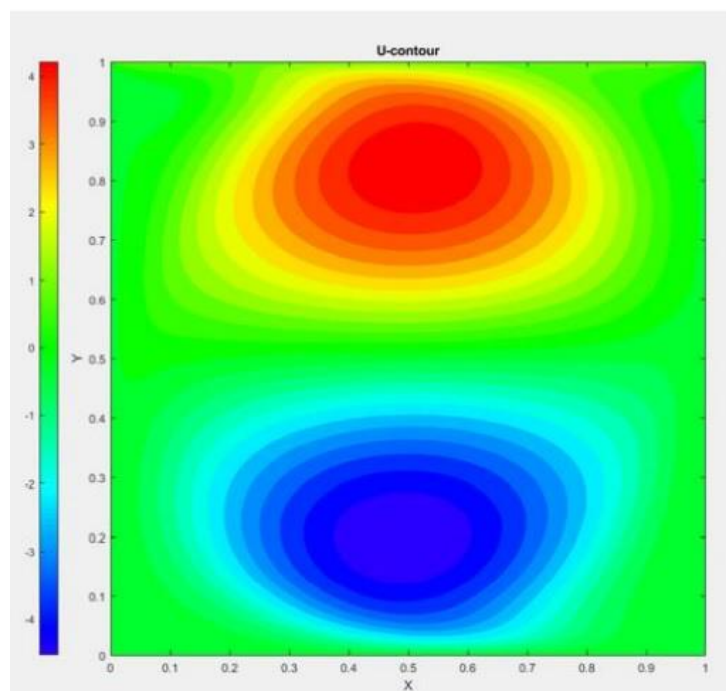
۲-۴-۳- ارائه نتایج برای عدد گراشف ۱۰۰۰۰



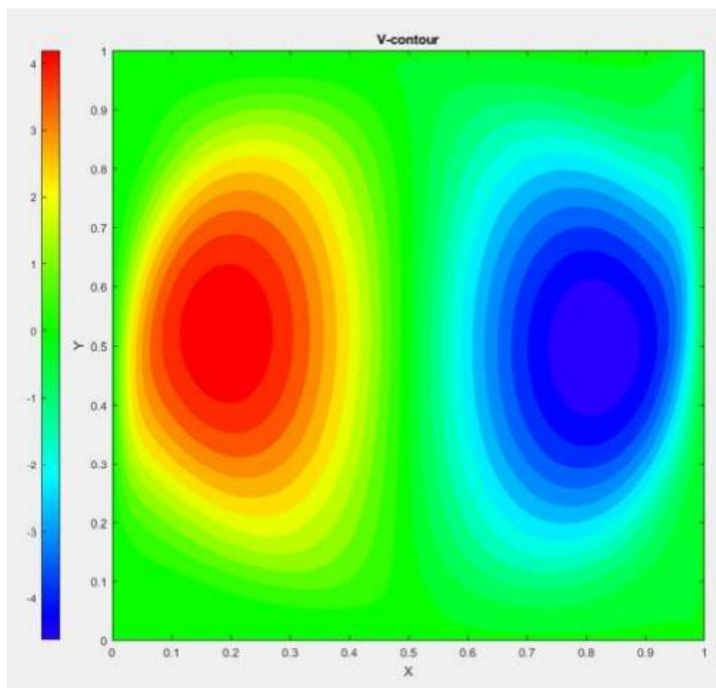
شکل ۳-۱۴: نمایش تابع جریان برای عدد گراشف ۱۰۰۰۰.



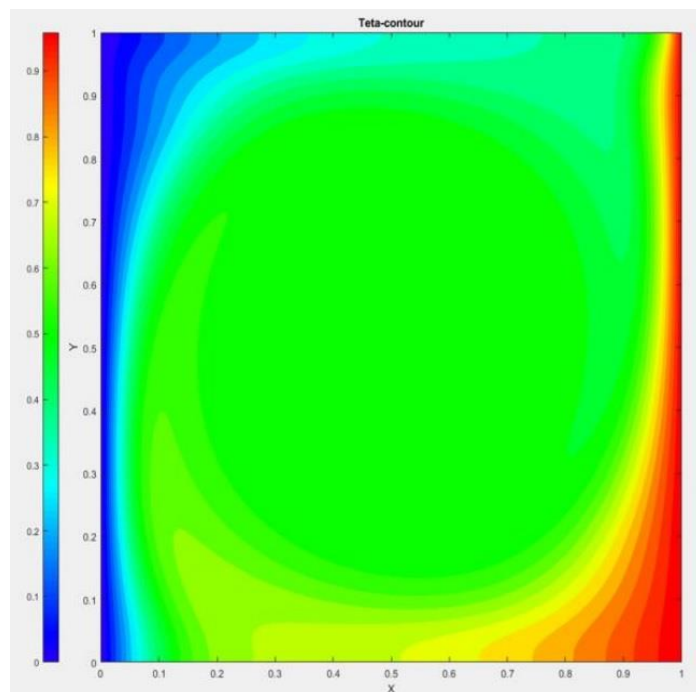
شکل ۳-۱۵: کانتور ورتیسیته برای عدد گراشف ۱۰۰۰۰.



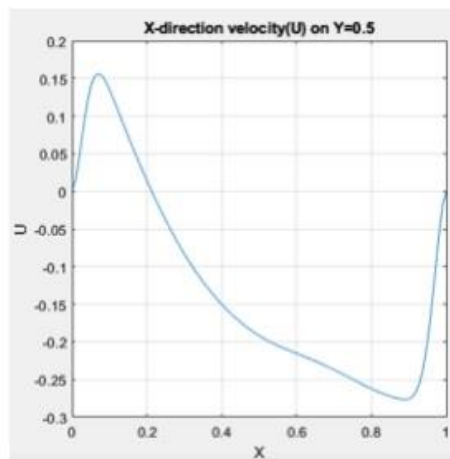
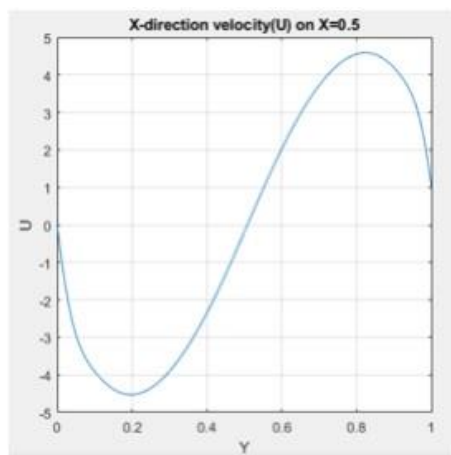
شکل ۳-۱۶: کانتور مولفه افقی سرعت برای عدد گراشف ۱۰۰۰۰.



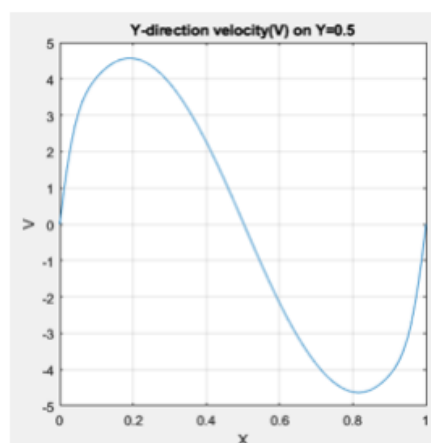
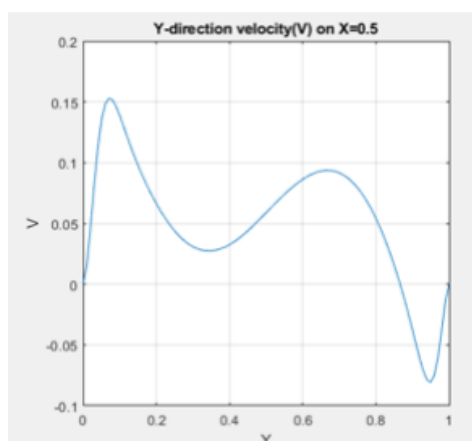
شکل ۳-۱۷: کانتور مولفه عمودی سرعت برای عدد گراشف ۱۰۰۰۰.



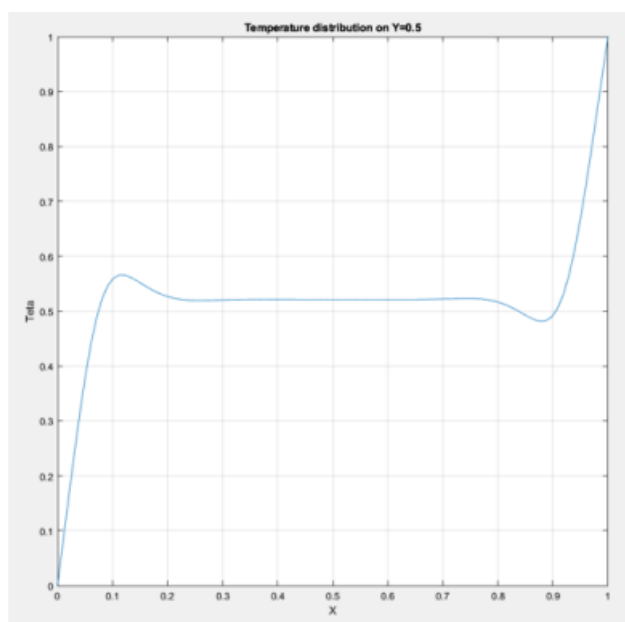
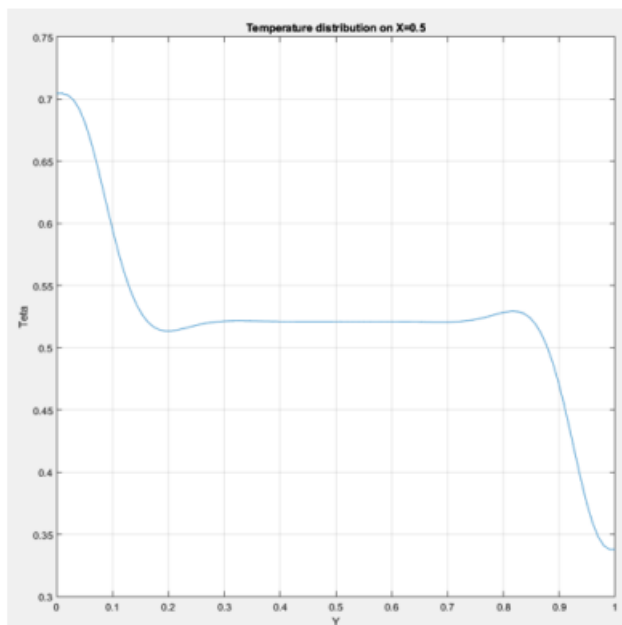
شکل ۳-۱۸: کانتور دمای بی بعد برای عدد گراشف ۱۰۰۰۰.



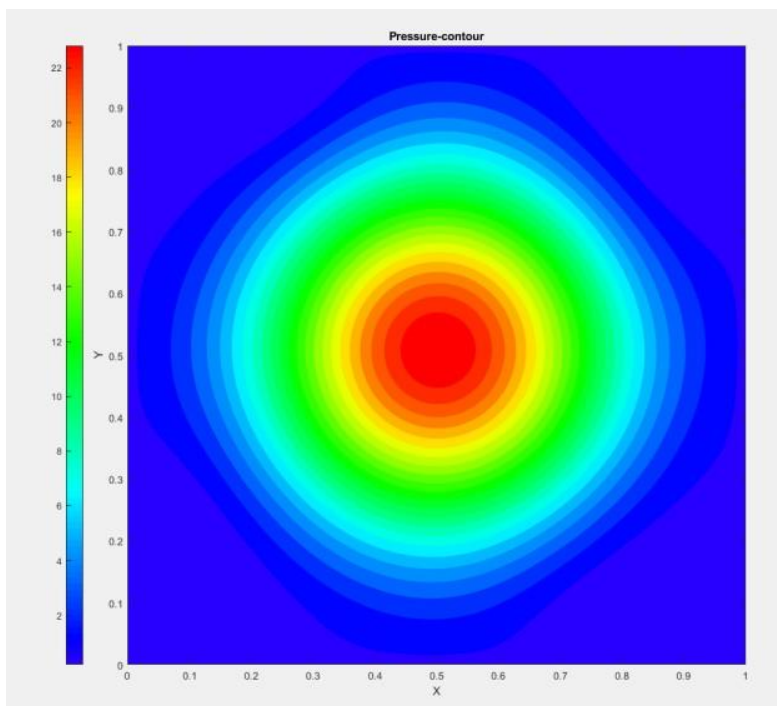
شکل ۳-۱۹: پروفیل مولفه افقی سرعت در $X=0.5$ و $Y=0.5$ در عدد گراشف ۱۰۰۰۰.



شکل ۳-۲۰: پروفیل مولفه عمودی سرعت در $X=0.5$ و $Y=0.5$ در عدد گراشف ۱۰۰۰۰.

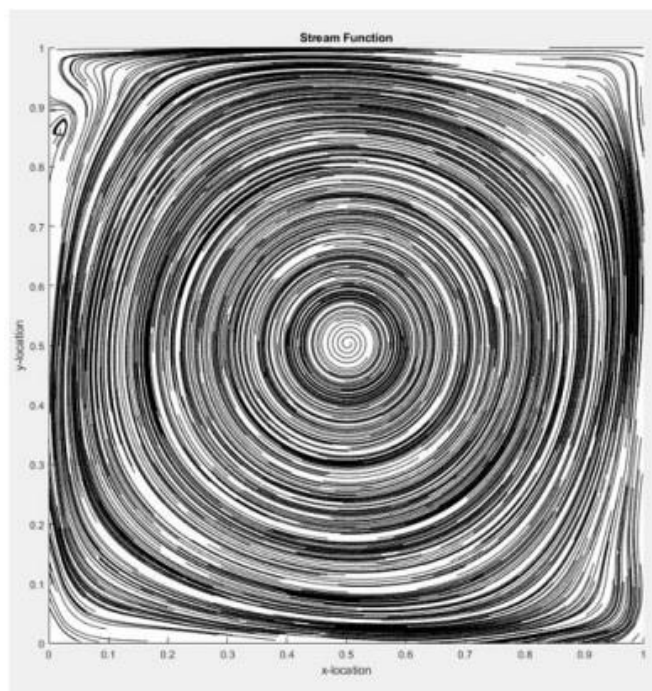


شکل ۳-۲۱: پروفیل دمای بی بعد در $X=0.5$ و $Y=0.5$ در عدد گراشف ۱۰۰۰۰.

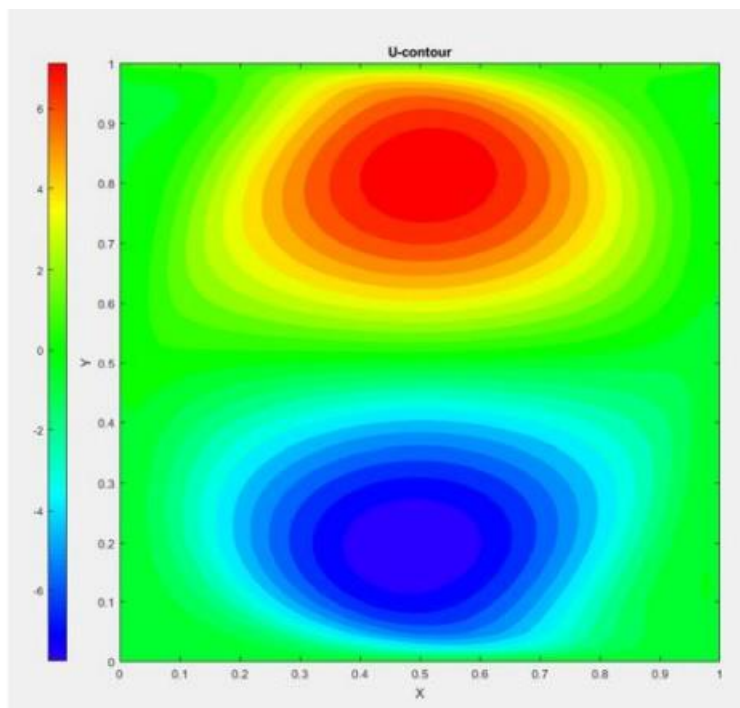


شکل ۳-۲۲: کانتور فشار در عدد گراشف ۱۰۰۰۰.

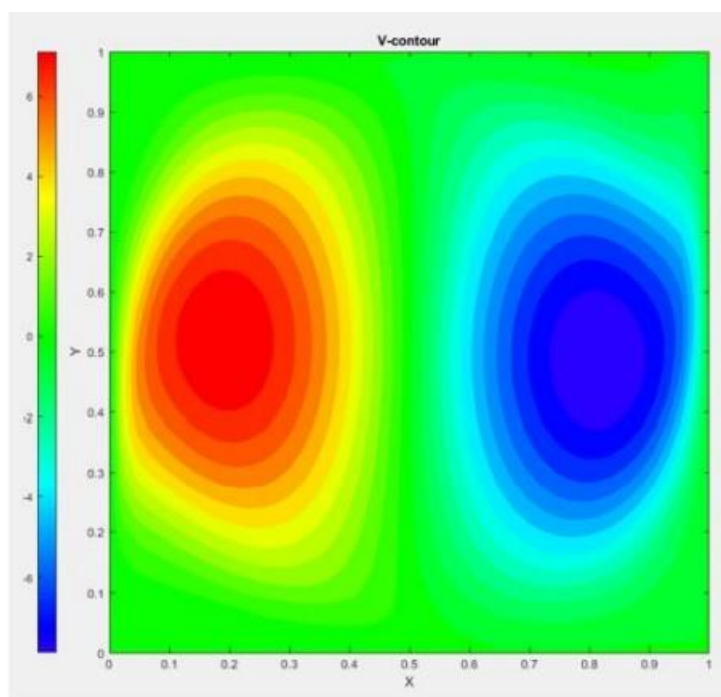
۳-۴-۳- ارائه نتایج برای عدد گراشف ۱۰۰۰۰۰



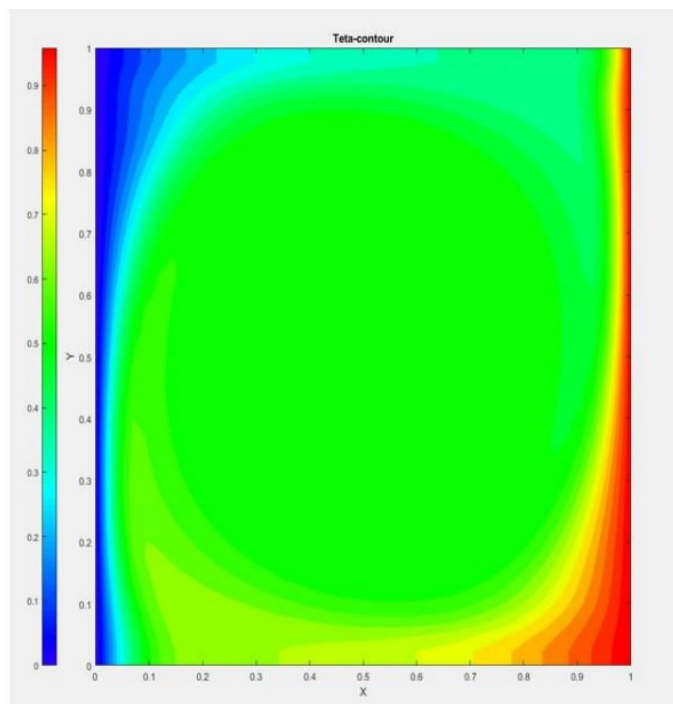
شکل ۳-۲۳: نمایش تابع جریان برای عدد گراشف ۱۰۰۰۰۰.



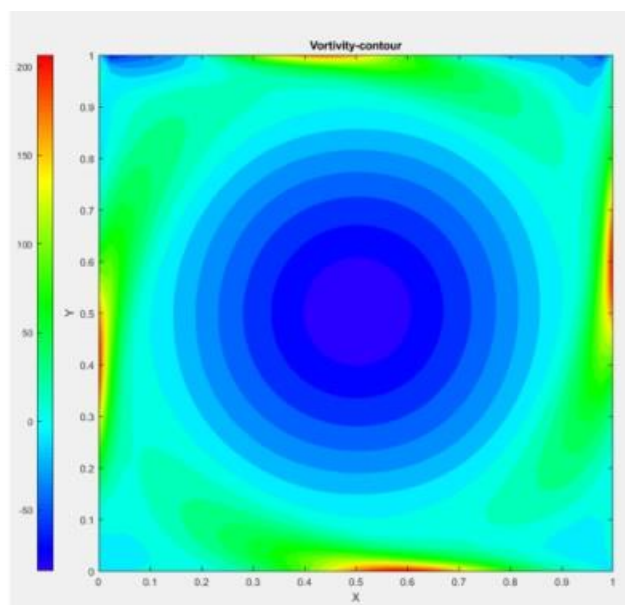
شکل ۳-۲۴: کانتور مولفه افقی سرعت برای عدد گراشف ۱۰۰۰۰۰.



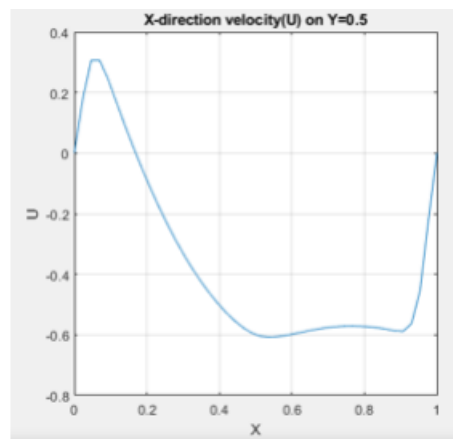
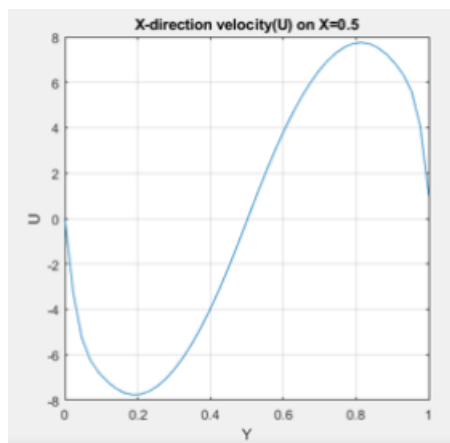
شکل ۳-۲۵: کانتور مولفه عمودی سرعت برای عدد گراشف ۱۰۰۰۰۰.



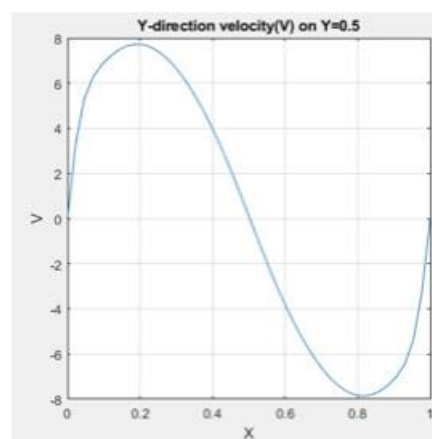
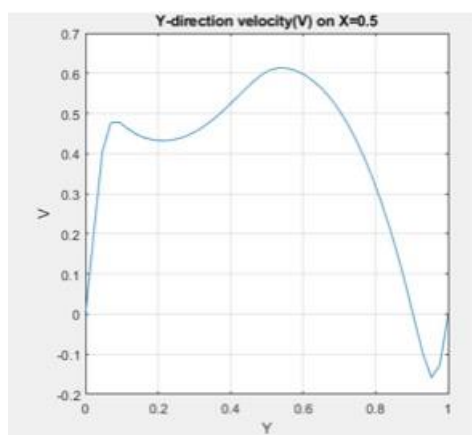
شکل ۳-۲۶: کانتور دمای بی بعد برای عدد گراشف ۱۰۰۰۰۰.



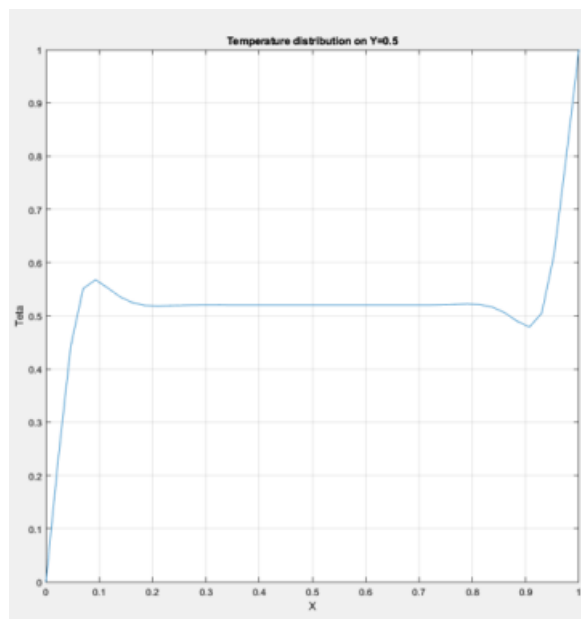
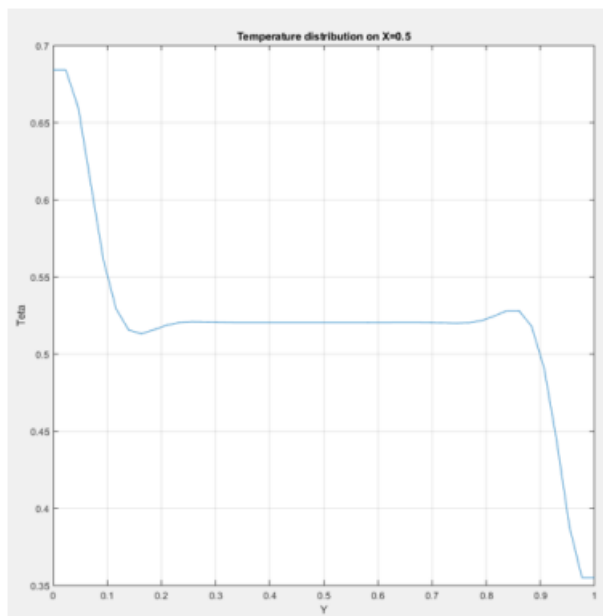
شکل ۳-۲۷: کانتور ورتیسیته برای عدد گراشف ۱۰۰۰۰۰.



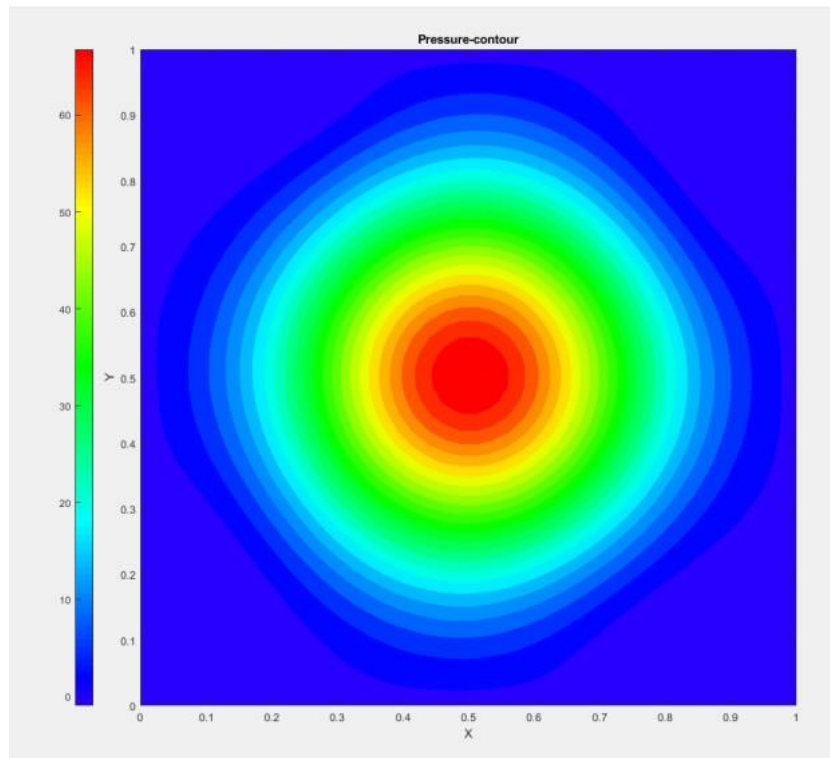
شکل ۳-۲۸: پروفیل مولفه افقی سرعت در $X=0.5$ و $Y=0.5$ در عدد گراشف ۱۰۰۰۰۰.



شکل ۳-۲۹: پروفیل مولفه عمودی سرعت در $X=0.5$ و $Y=0.5$ در عدد گراشف ۱۰۰۰۰۰.



شکل ۳-۳۰: پروفیل دمای بی بعد در $X=0.5$ و $Y=0.5$ در عدد گراشف 100000 .



شکل ۳-۳: کانتور فشار در عدد گراشف ۱۰۰۰۰.

۳-۵- پردازش داده

به کمک نتایج حاصل از حل عددی، دو مولفه مهم نیروی اصطکاک و نرخ بی بعد انتقال حرارت به شکل زیر قابل محاسبه هستند؛

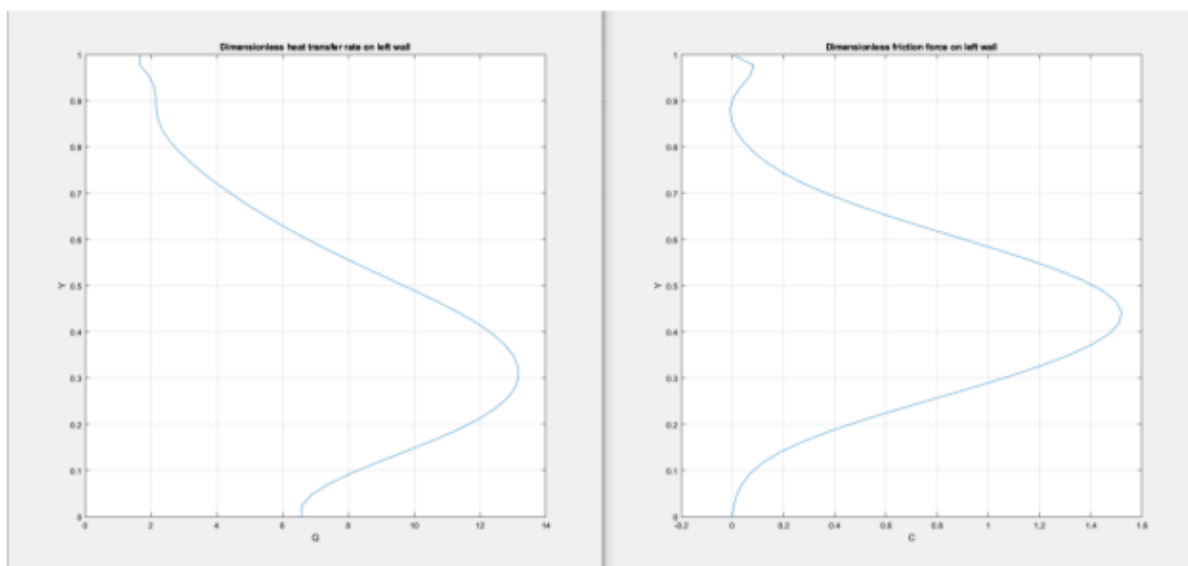
$$c = \frac{2}{Re} \frac{\partial V}{\partial X} \quad (۱-۳)$$

$$q = -\frac{\partial T}{\partial X} \quad (۲-۳)$$

به کمک شرط مرزی عدم لغزش^۱ و عدم پرش دمایی^۲ روابط بالا گسسته شده و نمودارهای زیر حاصل می شوند؛

^۱ No Slip Condition

^۲ No Temperature Jump



شکل ۳-۳۲: پروفیل نیروی اصطکاک و نرخ بی بعد انتقال حرارت.

فصل ۴:

نتایج و بحث

۴-۱- نتیجه گیری

نتایج حاصل از حل عددی باتوجه به هر کانتور و پروفیل به شکل زیر قابل بیان هستند؛

۴-۱-۱- تابع جریان و ورتیسیته

به دلیل شتاب سیال و حرکت آن به سمت راست، لزجت، شرط عدم لغزش و آرام بودن رژیم جریان انتظار می‌رفت یک ورتیسیته در جریان شکل گرفته و جریان حول این ورتیسیته شروع به گردش کند. در نمایش توابع جریان و کانتورهای ورتیسیته، این گردش قابل ملاحظه است.

۴-۱-۲- کانتور مولفه افقی سرعت

با نزدیک شدن به دیواره، مولفه افقی سرعت کمتر شده و در روی دیواره پایینی ($imax$) مقدار آن به صفر می‌رسد، لازم به ذکر است مقدار مولفه افقی سرعت در دیواره بالایی ($jmax$) بیشینه است. با نگاه کردن به پروفیل مولفه افقی سرعت در مرکز صفحه مشاهده می‌شود به علت ورتیسیته شکل گرفته در مرکز حفره، مقادیر سرعت در قسمت پایینی منفی و در قسمت بالایی مثبت هستند.

۴-۲- تاثیر عدد ریچاردسون

این عدد، برتری دو نوع جابه‌جایی آزاد و اجباری را بر یکدیگر مشخص می‌کند. در صورتی که عدد ریچاردسون کمتر از یک باشد، جابه‌جایی اجباری بر جابه‌جایی آزاد غلبه کرده و تاثیر بیشتری بر مساله دارد. اما، در صورتی که عدد ریچاردسون بیشتر از یک باشد، جابه‌جایی آزاد بر جابه‌جایی اجباری غلبه کرده و تاثیر بیشتری بر مساله دارد. در حل جریان حفره با روش مزبور، نتایج نشان داده است در صورتی که عدد ریچاردسون به یک نزدیک می‌شود، حل ناپایدار شده و جابه‌جایی آزاد و اجباری هر دو در مساله دیده می‌شوند. در چنین مواردی لازم است جهت رفع ناپایداری تمهیدات مناسب اندیشیده شود.

فصل ۵:

پیوست

Error!
Reference
source **not**
found.

Error! Reference source not found.

Isothermal code:/:/.

;clc

;clear

close all

Parameters:/:/.

Re= 100; %Reynolds Number

Pr = .7; %Prantel Number

Gr = 10^4; %Grashove Number

Pe = Re*Pr; %Peccklet Number

Ri = Gr/Re^2; %Richardson Number

r = 1; %Density

Nx = 99; %Number of nodes in x-direction

L = 1; %Dimensionless length(Domain size)

U = 1; % Velocity on upper wall

deltt = 0.001; %Time increments

Error!
Reference
source not
found.

Error! Reference source not found.

```
max_iteration = 50000; %Maximum iteration
```

```
max_error = 1e-5; %Maximum error
```

```
Setting matrixes and requirements for code %:/%.
```

```
;Ny = Nx
```

```
;d=L/(Nx-1)
```

```
;x = 0:d:L
```

```
;y = 0:d:L
```

```
w = zeros(Nx,Ny); %Vorticity matrix
```

```
wp = w; %Previous time iteration values of vorticity
```

```
S = zeros(Nx,Ny); %Stream function
```

```
u = zeros(Nx,Ny); %X-direction velocity
```

```
u(2:Nx-1,Ny) = U; %Top surface velocity
```

```
v = zeros(Nx,Ny); %Y-direction velocity
```

```
T = zeros(Nx,Ny); %Temperature matrix
```

```
Unsteady solving for w and T %:/%.
```

```
for iter = 1:max_iteration
```

Error!
Reference
source not
found.

Error! Reference source not found.

Boundary conditions://.

for vorticity://.

$w(:,Ny) = -2*S(:,Ny-1)/(d^2) - U^2/d;$ % Top

$w(:,1) = -2*S(:,2)/(d^2);$ % Bottom

$w(1,:) = -2*S(2,:)/(d^2);$ % Left

$w(Nx,:) = -2*S(Nx-1,:)/(d^2);$ % Right

for temperature://.

$T(2:Nx-1,1) = T(2:Nx-1,2);$ %Bottom

$T(2:Nx-1,Ny) = T(2:Nx-1,Ny-1);$ %Top

Calculating vorticity://.

;wp = w

Error!
Reference
source **not**
found.

Error! Reference source not found.

;Tp=T

for i = 2:Nx-1

for j = 2:Ny-1

...+(w(i,j) = wp(i,j)+(-1*max(u(i,j),0).*((wp(i,j)-wp(i-1,j))/d

...-max(-1*u(i,j),0).*((wp(i+1,j)-wp(i,j))/d)

...+max(v(i,j),0).*((wp(i,j)-wp(i,j-1))/d)

...+max(-1*v(i,j),0).*((wp(i,j+1)-wp(i,j))/d)

..Re*(wp(i+1,j)+wp(i-1,j)-4*wp(i,j)+wp(i,j+1)+wp(i,j-1))/(d^2))*deltt/\

;deltt*Ri*(T(i+1,j)-T(i-1,j)/(2*d)) +

...+(T(i,j)=Tp(i,j) + (-1*u(i,j).* (Tp(i+1,j)-Tp(i-1,j))/(2*d

...+(-v(i,j)).*(Tp(i,j+1)-Tp(i,j-1))/(2*d)

;Pe*(Tp(i+1,j)+Tp(i-1,j)-4*Tp(i,j)+Tp(i,j+1)+Tp(i,j-1))/(d^2))*deltt/\

end

end

Error!
Reference
source not
found.

Error! Reference source not found.

Calculating stream function'././.

for i = 2:Nx-1

for j = 2:Ny-1

;S(i,j) = (w(i,j)*d^2 + S(i+1,j) + S(i,j+1) + S(i,j-1) + S(i-1,j))/4

end

end

Calculating velocities'././.

for i = 2:Nx-1

for j = 2:Ny-1

;u(i,j) = (S(i,j+1)-S(i,j-1))/(2*d)

;v(i,j) = (-S(i+1,j)+S(i-1,j))/(2*d)

end

end

Convergence check'././.

Error!
Reference
source **not**
found.

Error! Reference source not found.

```
if iter > 10
```

```
error = max(max(w - wp))
```

```
if error < max_error
```

```
;break
```

```
end
```

```
end
```

```
end
```

Plots/././

```
;cm = hsv(ceil(100/0.7)); cm = flipud(cm(1:100,:))
```

```
;figure(1); plot(x,v(:,round(Ny/2)))
```

```
;title('Centerline Y-direction velocity')
```

```
xlabel('X'); ylabel('V'); axis('square'); xlim([0 L]); grid on
```

```
;figure(2); plot(y,u(round(Ny/2),:))
```

```
;title('Centerline X-direction velocity')
```

```
xlabel('Y'); ylabel('U'); axis('square'); xlim([0 L]); grid on
```

```
;N = 1000; xstart = max(x)*rand(N,1); ystart = max(y)*rand(N,1)
```

Error!
Reference
source not
found.

Error! Reference source not found.

```
:[X,Y] = meshgrid(x,y)
```

```
;figure(4); h=streamline(x,y,u',v',xstart,ystart,[0.1, 200])
```

```
title('Stream Function'); xlabel('x-location'); ylabel('y-location')
```

```
axis('equal',[0 L 0 L]); set(h,'color','k')
```

Unsteady condition code %:/:.

```
;clc
```

```
;clear
```

```
close all
```

Parameters%:/:.

```
Re= 100;          %Reynolds Number
```

```
Pr = .7;          %Prantel Number
```

```
Gr = 10^5;        %Grashove Number
```

```
Pe = Re*Pr;       %Peccklet Number
```

```
Ri = Gr/Re^2;     %Richardson Number
```

```
r = 1;           %Density
```

Error!
Reference
source **not**
found.

Error! Reference source not found.

$N_x = 44;$ %Number of nodes in x-direction
 $L = 1;$ %Dimensionless length(Domain size)
 $U = 1;$ % Velocity on upper wall

$\text{deltt} = 0.001;$ %Time increments
 $\text{max_iteration} = 50000;$ %Maximum iteration
 $\text{max_error} = 1\text{e-}5;$ %Maximum error

Setting matrixes and requirements for code %././.

$;\text{Ny} = \text{Nx}$
 $;\text{d}=\text{L}/(\text{Nx}-1)$
 $;\text{x} = 0:\text{d}:\text{L}$
 $;\text{y} = 0:\text{d}:\text{L}$
 $\text{w} = \text{zeros}(\text{Nx},\text{Ny});$ %Vorticity matrix
 $\text{wp} = \text{w};$ %Previous time iteration values of vorticity
 $\text{S} = \text{zeros}(\text{Nx},\text{Ny});$ %Stream function
 $\text{u} = \text{zeros}(\text{Nx},\text{Ny});$ %X-direction velocity
 $\text{u}(2:\text{Nx}-1,\text{Ny}) = \text{U};$ %Top surface velocity
 $\text{v} = \text{zeros}(\text{Nx},\text{Ny});$ % Y-direction velocity
 $\text{T} = \text{zeros}(\text{Nx},\text{Ny});$ % Temperature matrix

Error!
Reference
source not
found.

Error! Reference source not found.

$T(N_x,:) = 1;$ %Boundary condition on right wall

Unsteady solving for w and T $\therefore\therefore$

for iter = 1:max_iteration

Boundary conditions $\therefore\therefore$

for vorticity $\therefore\therefore$

$w(:,N_y) = -2*S(:,N_y-1)/(d^2) - U^2/d;$ % Top

$w(:,1) = -2*S(:,2)/(d^2);$ % Bottom

$w(1,:) = -2*S(2,:)/(d^2);$ % Left

$w(N_x,:) = -2*S(N_x-1,:)/(d^2);$ % Right

for temperature $\therefore\therefore$

$T(2:N_x-1,1) = T(2:N_x-1,2);$ %Bottom

Error!
Reference
source **not**
found.

Error! Reference source not found.

$T(2:N_x-1, N_y) = T(2:N_x-1, N_y-1);$ %Top

Calculating vorticity $\backslash:/\backslash/$.

;wp = w

;Tp=T

for i = 2:Nx-1

for j = 2:Ny-1

...+(w(i,j) = wp(i,j)+(-1*max(u(i,j),0).*((wp(i,j)-wp(i-1,j))/d

...-max(-1*u(i,j),0).*((wp(i+1,j)-wp(i,j))/d)

...+max(v(i,j),0).*((wp(i,j)-wp(i,j-1))/d)

...+max(-1*v(i,j),0).*((wp(i,j+1)-wp(i,j))/d)

...Re*(wp(i+1,j)+wp(i-1,j)-4*wp(i,j)+wp(i,j+1)+wp(i,j-1))/(d^2))*deltt/\

;deltt*Ri*(T(i+1,j)-T(i-1,j))/(2*d)) +

...+(T(i,j)=Tp(i,j) + (-1*u(i,j).* (Tp(i+1,j)-Tp(i-1,j)))/(2*d

Error!
Reference
source not
found.

Error! Reference source not found.

...+(-v(i,j)).*(Tp(i,j+1)-Tp(i,j-1))/(2*d)

;Pe*(Tp(i+1,j)+Tp(i-1,j)-4*Tp(i,j)+Tp(i,j+1)+Tp(i,j-1))/(d^2))*deltt/\

end

end

Calculating stream function'././.

for i = 2:Nx-1

for j = 2:Ny-1

;S(i,j) = (w(i,j)*d^2 + S(i+1,j) + S(i,j+1) + S(i,j-1) + S(i-1,j))/4

end

end

Calculating velocities'././.

for i = 2:Nx-1

for j = 2:Ny-1

;u(i,j) = (S(i,j+1)-S(i,j-1))/(2*d)

;v(i,j) = (-S(i+1,j)+S(i-1,j))/(2*d)

**Error!
Reference
source not
found.**

Error! Reference source not found.

end

end

Convergence check'././.

if iter > 10

error = max(max(w - wp))

if error < max_error

;break

end

end

end

Calculating pressure after reaching to steady state'././.

;p = ones(Nx,Ny)

;err_presure = 1

Error!
Reference
source **not**
found.

Error! Reference source not found.

;t = 0

while err_presure > 0.00001

;po = p

for i = 2:Nx-1

for j = 2:Ny-1

...-((p(i,j) = r/(4*d^2)*(2*((S(i+1,j)-2*S(i,j)+S(i-1,j))*(S(i,j+1)-2*S(i,j)+S(i,j-1

...-((S(i+1,j+1)-S(i-1,j+1)-S(i+1,j-1)+S(i-1,j-1))^2*\epsilon/\

;(Ri*d^3/2*(T(i,j+1)-T(i,j-1))+d^2/r*(p(i+1,j)+p(i-1,j)+p(i,j+1)+p(i,j-1))

end

end

if t > 10

err_presure = max(max(p - po))

end

;t = t+1

end

Error!
Reference
source not
found.

Error! Reference source not found.

Dimensionless heat transfer rate on left wall'././.

```
for j = 1:Ny  
;q(j,1) = -(T(1,j)-T(2,j))/d  
end
```

Dimensionless friction force on left wall'././.

```
for j = 1:Ny  
;c(j,1) = 1/Re*v(2,j)/d  
end
```

Plots'././.

```
;cm = hsv(ceil(100/0.7)); cm = flipud(cm(1:100,:))  
  
;figure(1); contourf(x,y,u',23,'LineColor','none')  
  
title('U-contour'); xlabel('X'); ylabel('Y')  
  
;axis('equal',[0 L 0 L]); colormap(cm); colorbar('westoutside')
```

Error!
Reference
source not
found.

Error! Reference source not found.

```
;figure(2); contourf(x,y,v',23,'LineColor','none')

title('V-contour'); xlabel('X'); ylabel('Y')

;axis('equal',[0 L 0 L]); colormap(cm); colorbar('westoutside')


;figure(3); contourf(x,y,T',23,'LineColor','none')

title('Teta-contour'); xlabel('X'); ylabel('Y')

;axis('equal',[0 L 0 L]); colormap(cm); colorbar('westoutside')


;N = 1000; xstart = max(x)*rand(N,1); ystart = max(y)*rand(N,1)

;[X,Y] = meshgrid(x,y)

;figure(4); h=streamline(x,y,u',v',xstart,ystart,[0.1, 200])

title('Stream Function'); xlabel('x-location'); ylabel('y-location')

axis('equal',[0 L 0 L]); set(h,'color','k')


;figure(5); contourf(x,y,w',23,'LineColor','none')

title('Vortivity-contour'); xlabel('X'); ylabel('Y')

;axis('equal',[0 L 0 L]); colormap(cm); colorbar('westoutside')


;figure(6); plot(y,u(round(Nx/2),:))

;title('X-direction velocity(U) on X=0.5')
```

Error!
Reference
source **not**
found.

Error! Reference source not found.

```
xlabel('Y'); ylabel('U'); axis('square'); xlim([0 L]); grid on
```

```
;figure(7); plot(x,u(:,round(Ny/2)))
```

```
;title('X-direction velocity(U) on Y=0.5')
```

```
xlabel('X'); ylabel('U'); axis('square'); xlim([0 L]); grid on
```

```
;figure(8); plot(y,v(round(Nx/2),:))
```

```
;title('Y-direction velocity(V) on X=0.5')
```

```
xlabel('Y'); ylabel('V'); axis('square'); xlim([0 L]); grid on
```

```
;figure(9); plot(x,v(:,round(Ny/2)))
```

```
;title('Y-direction velocity(V) on Y=0.5')
```

```
xlabel('X'); ylabel('V'); axis('square'); xlim([0 L]); grid on
```

```
;figure(10); plot(y,T(round(Nx/2),:))
```

```
;title('Temperature distribution on X=0.5')
```

```
xlabel('Y'); ylabel('Teta'); axis('square'); xlim([0 L]); grid on
```

```
;figure(11); plot(x,T(:,round(Ny/2)))
```

Error!
Reference
source not
found.

Error! Reference source not found.

```
;title('Temperature distribution on Y=0.5')
```

```
xlabel('X'); ylabel('Teta'); axis('square'); xlim([0 L]); grid on
```

```
;figure(12); contourf(x,y,p',23,'LineColor','none')
```

```
title('Pressure-contour'); xlabel('X'); ylabel('Y')
```

```
;axis('equal',[0 L 0 L]); colormap(cm); colorbar('westoutside')
```

```
;figure(13); plot(q,y)
```

```
;title('Dimensionless heat transfer rate on left wall')
```

```
xlabel('Q'); ylabel('Y'); axis('square'); ylim([0 L]); grid on
```

```
;figure(14); plot(c,y)
```

```
;title('Dimensionless friction force on left wall')
```

```
xlabel('C'); ylabel('Y'); axis('square'); ylim([0 L]); grid on
```

Error!
Reference
source **not**
found.

Error! Reference source not found.

مراجع

1. Ghia, U.K.N.G., Ghia, K.N. and Shin, C.T., 1982. High-Re solutions for incompressible flow using the Navier-Stokes equations and a multigrid method. Journal of computational physics, 48(3), pp.387-411